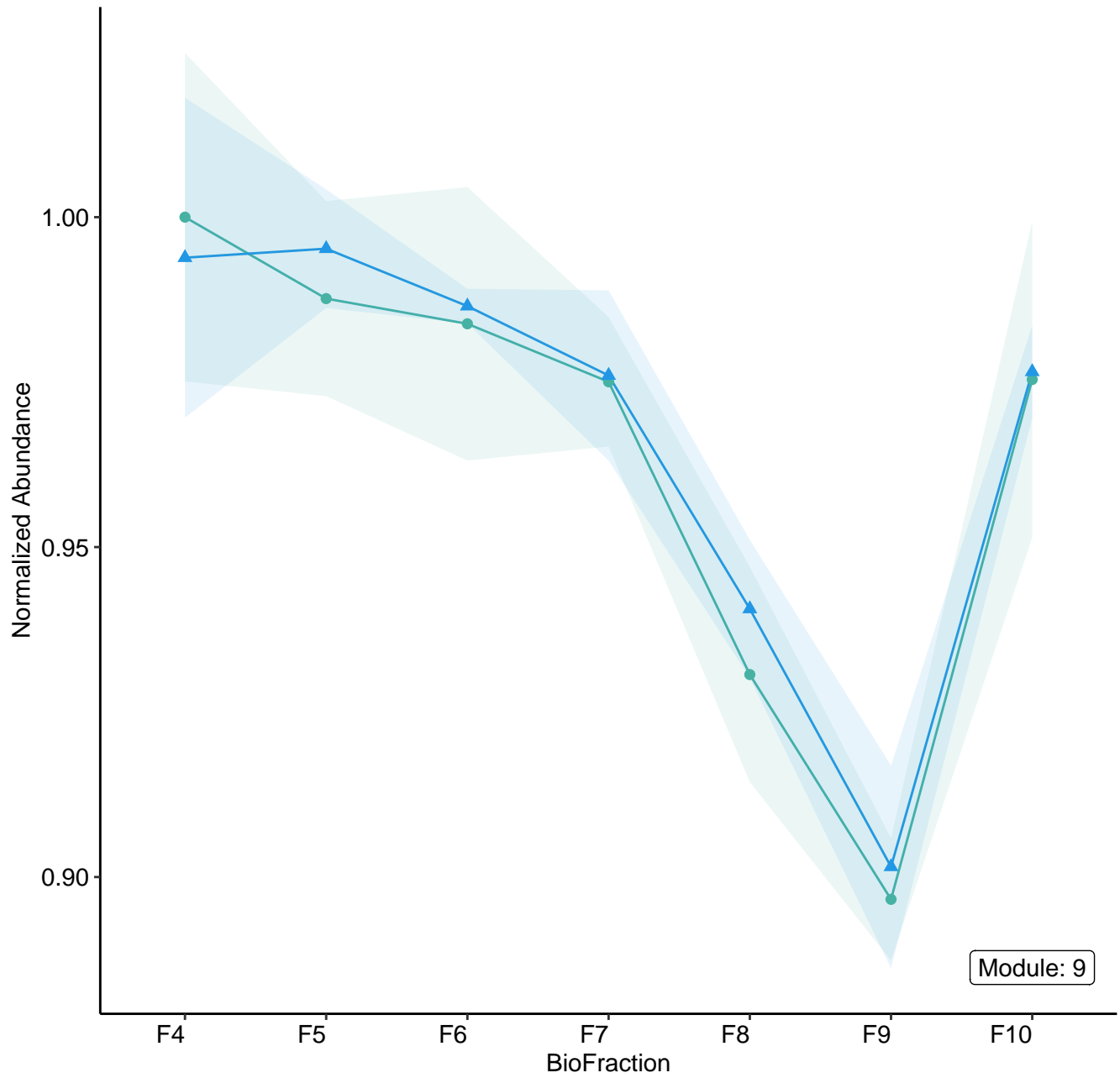
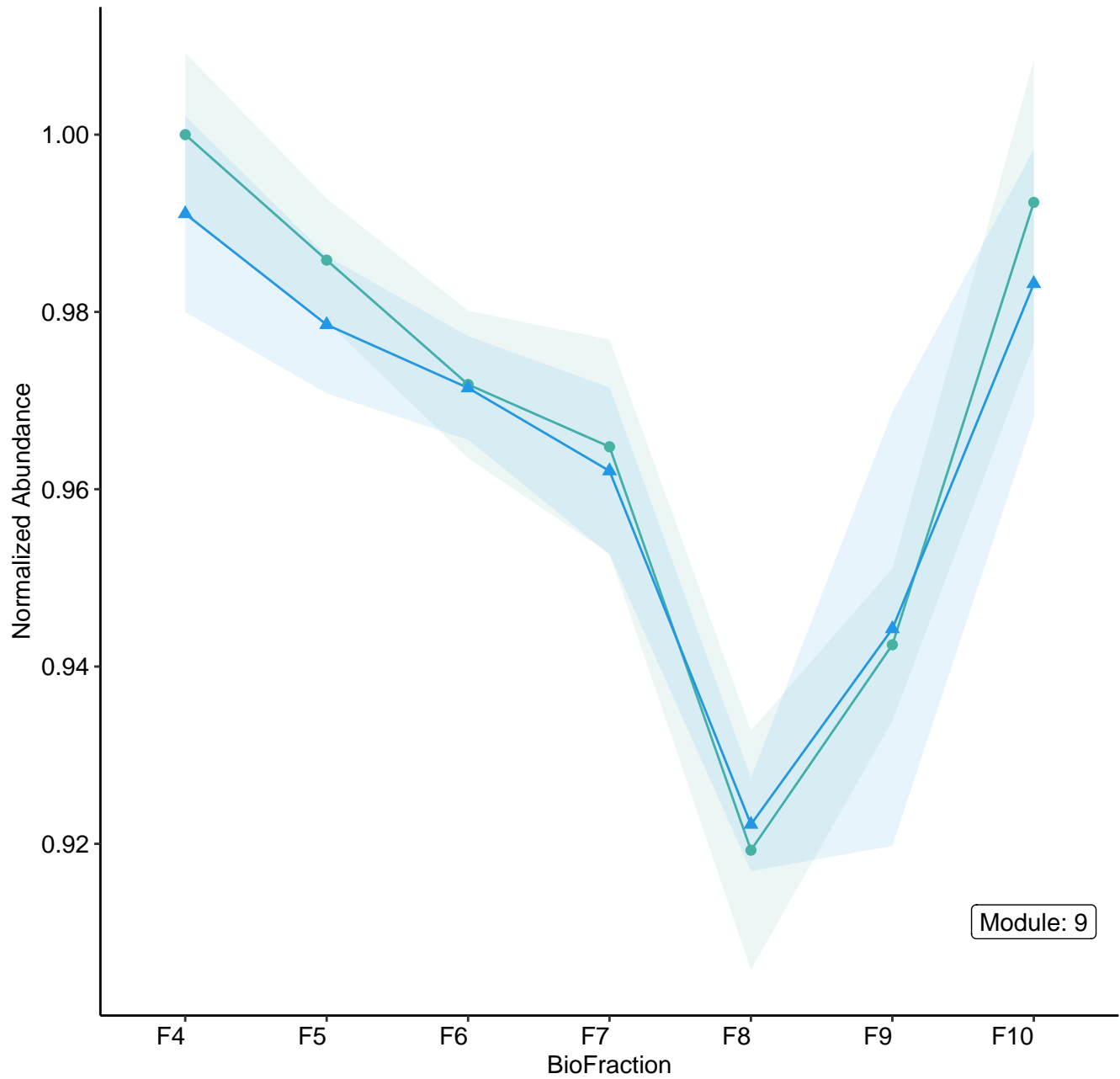
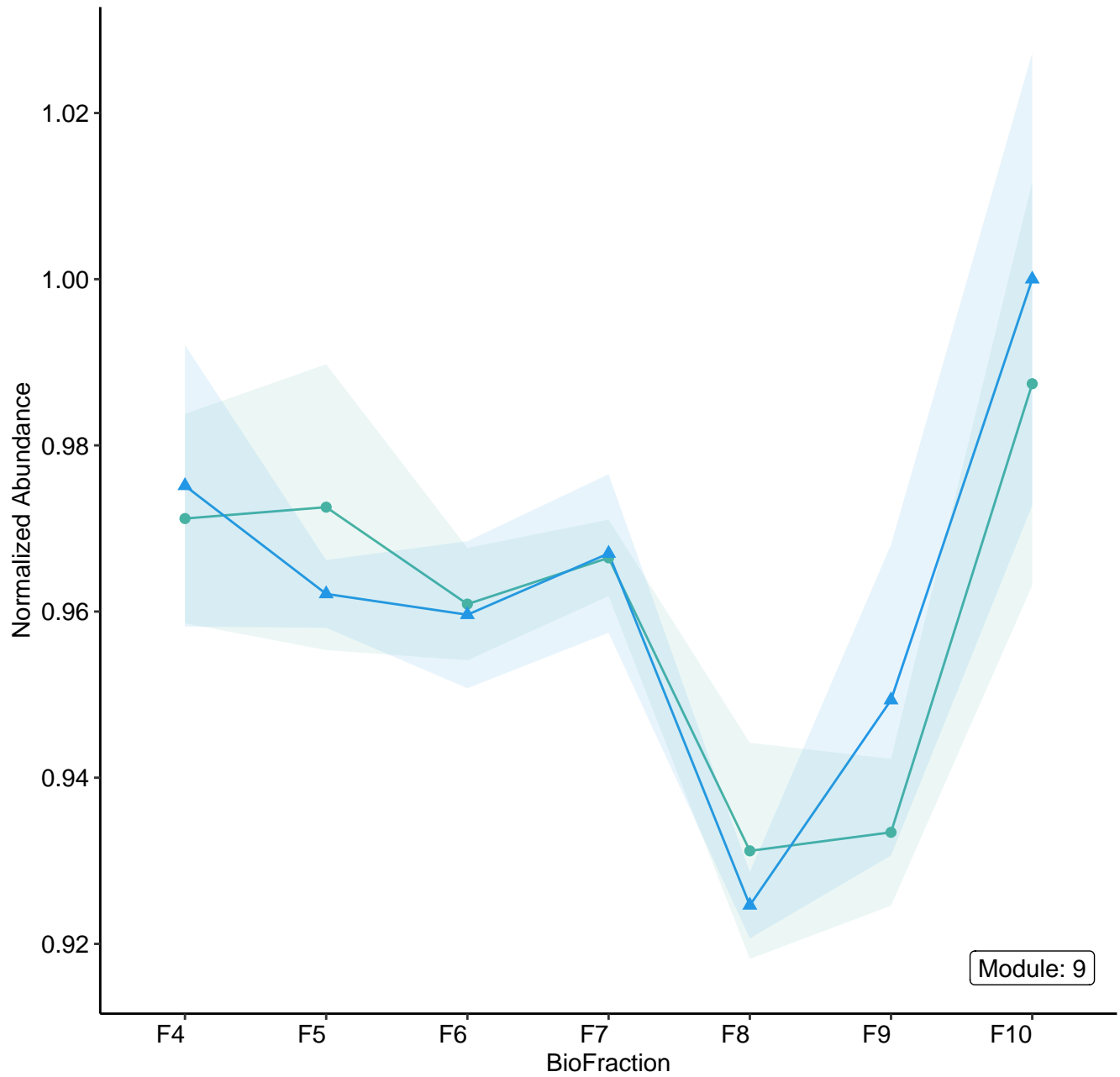


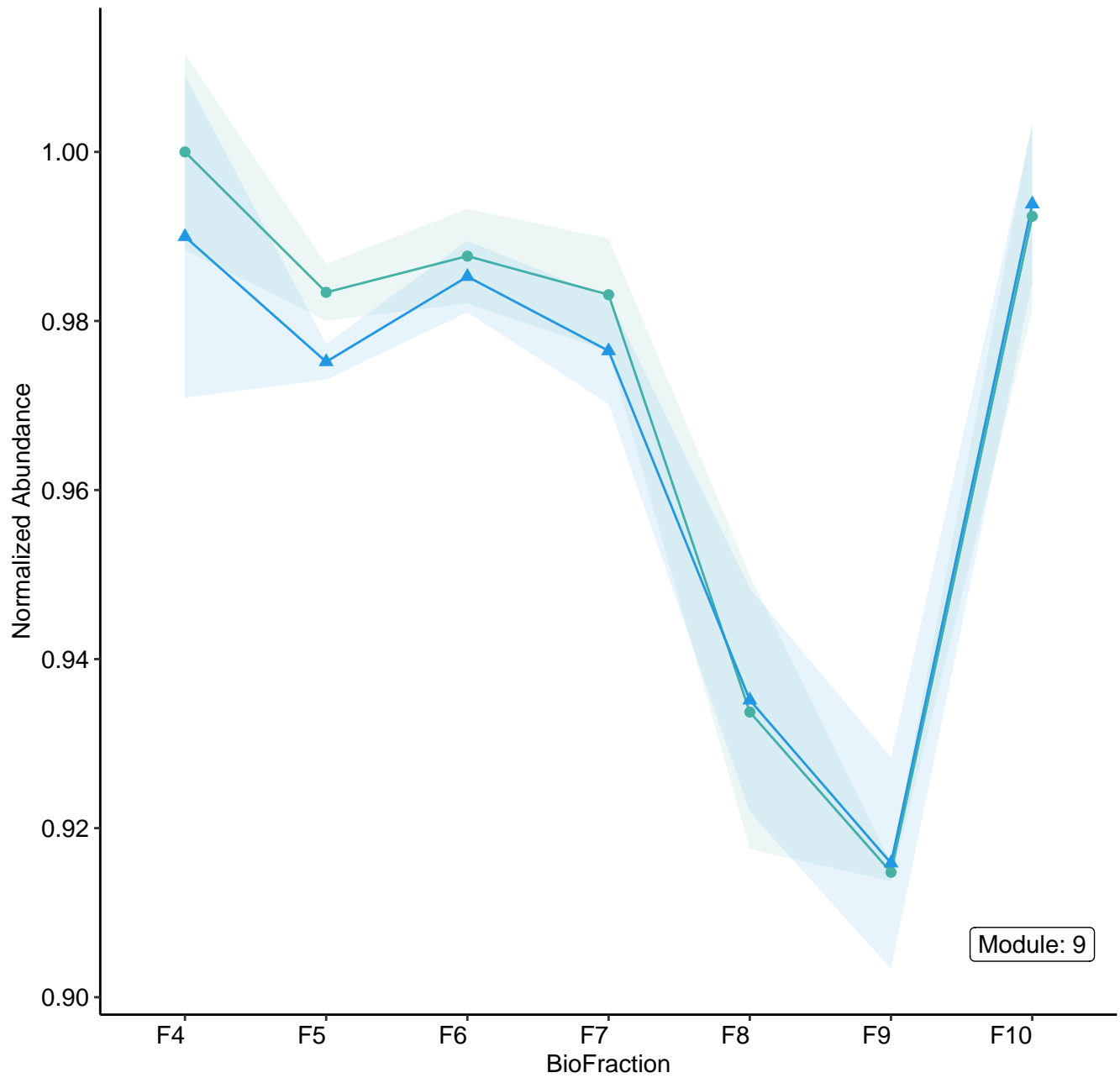
Module: 9



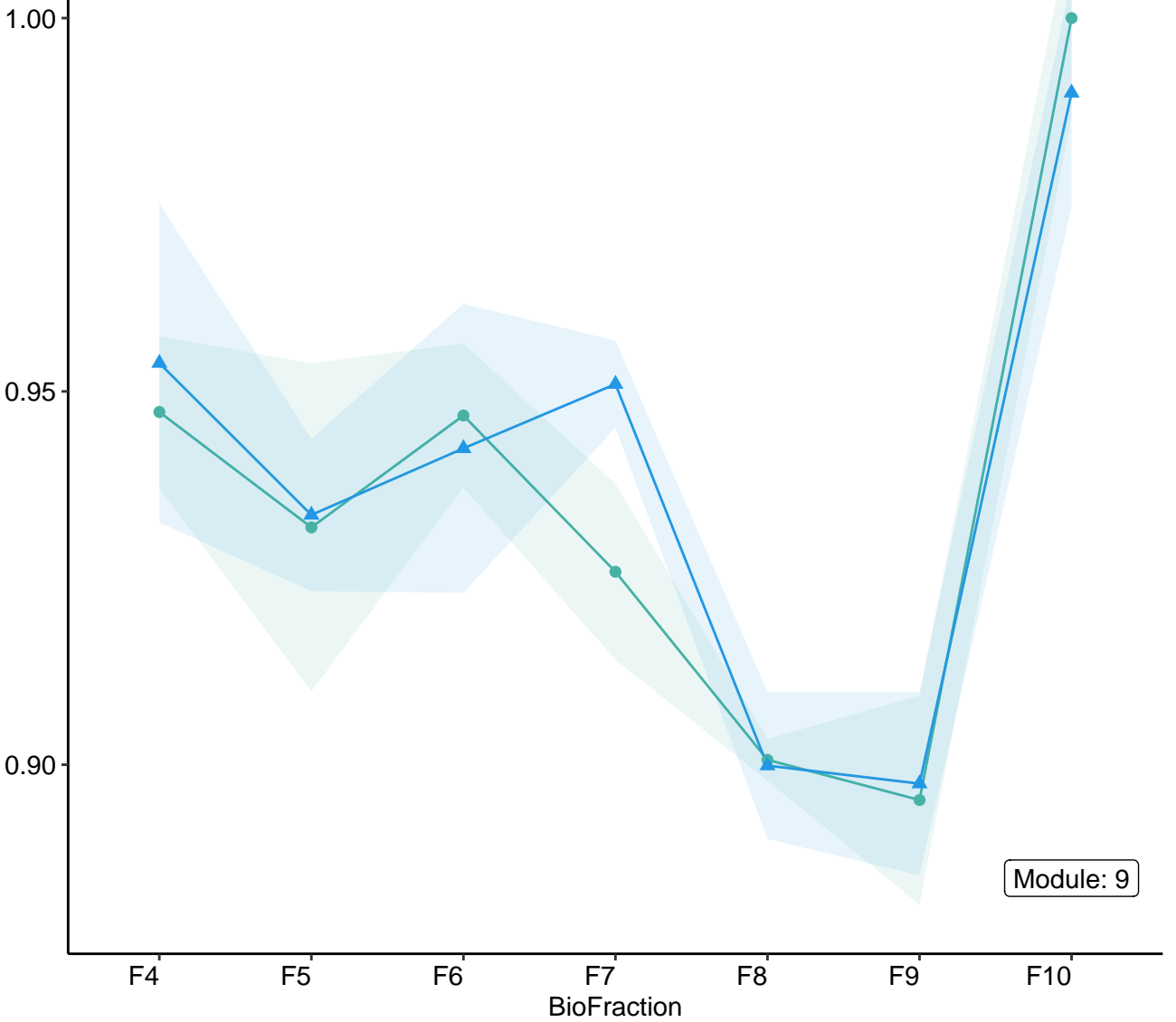




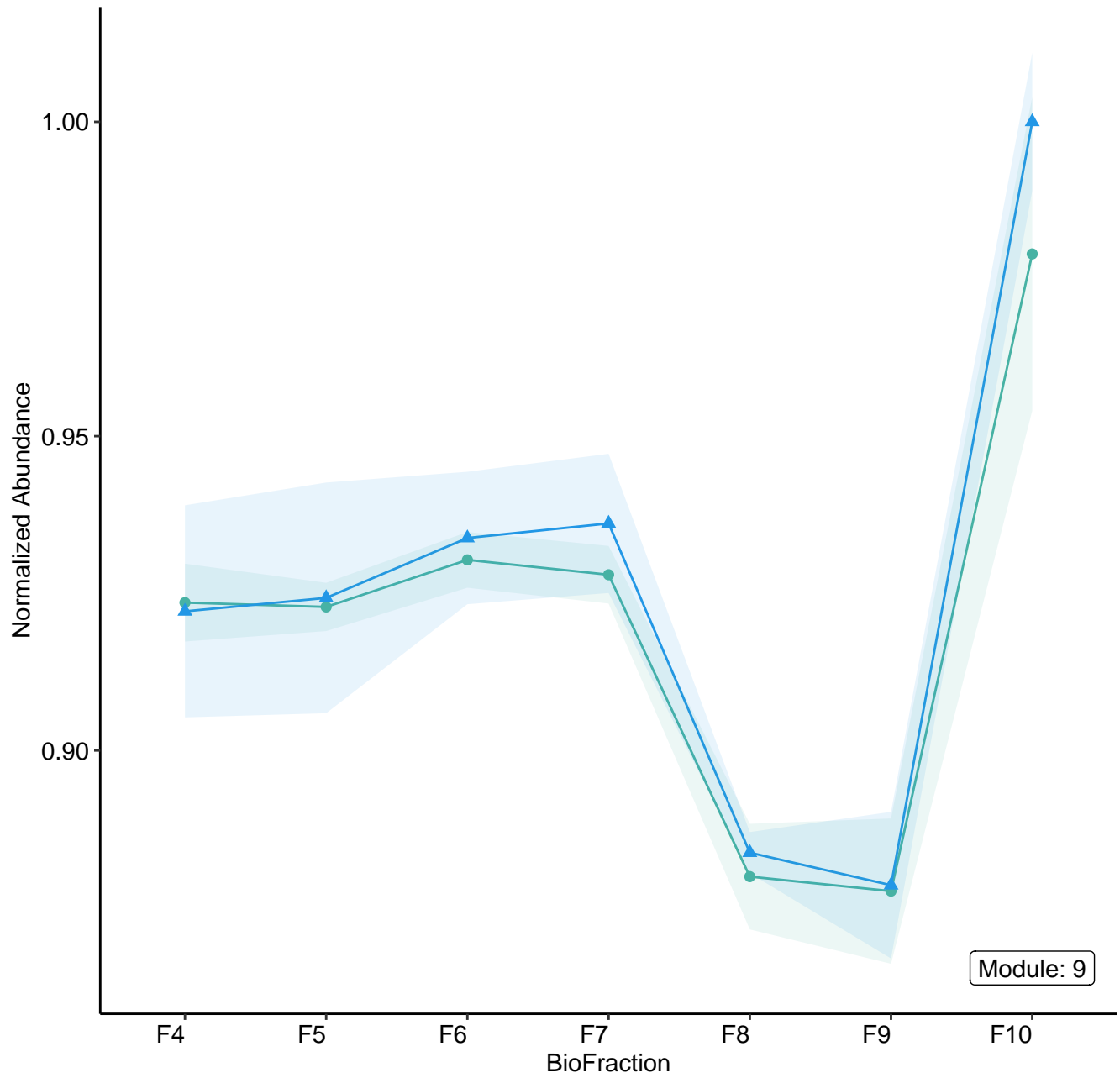




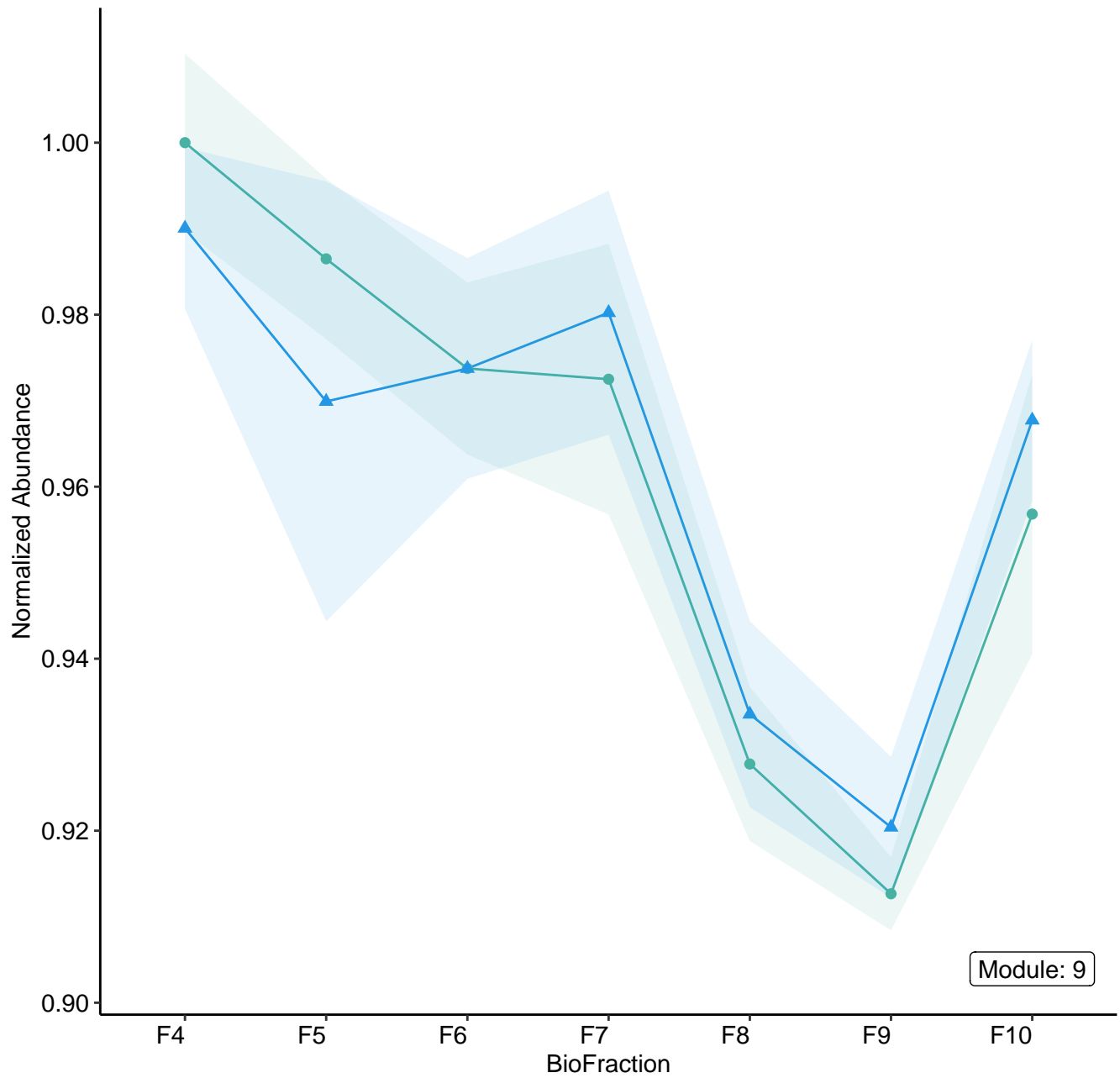
Normalized Abundance

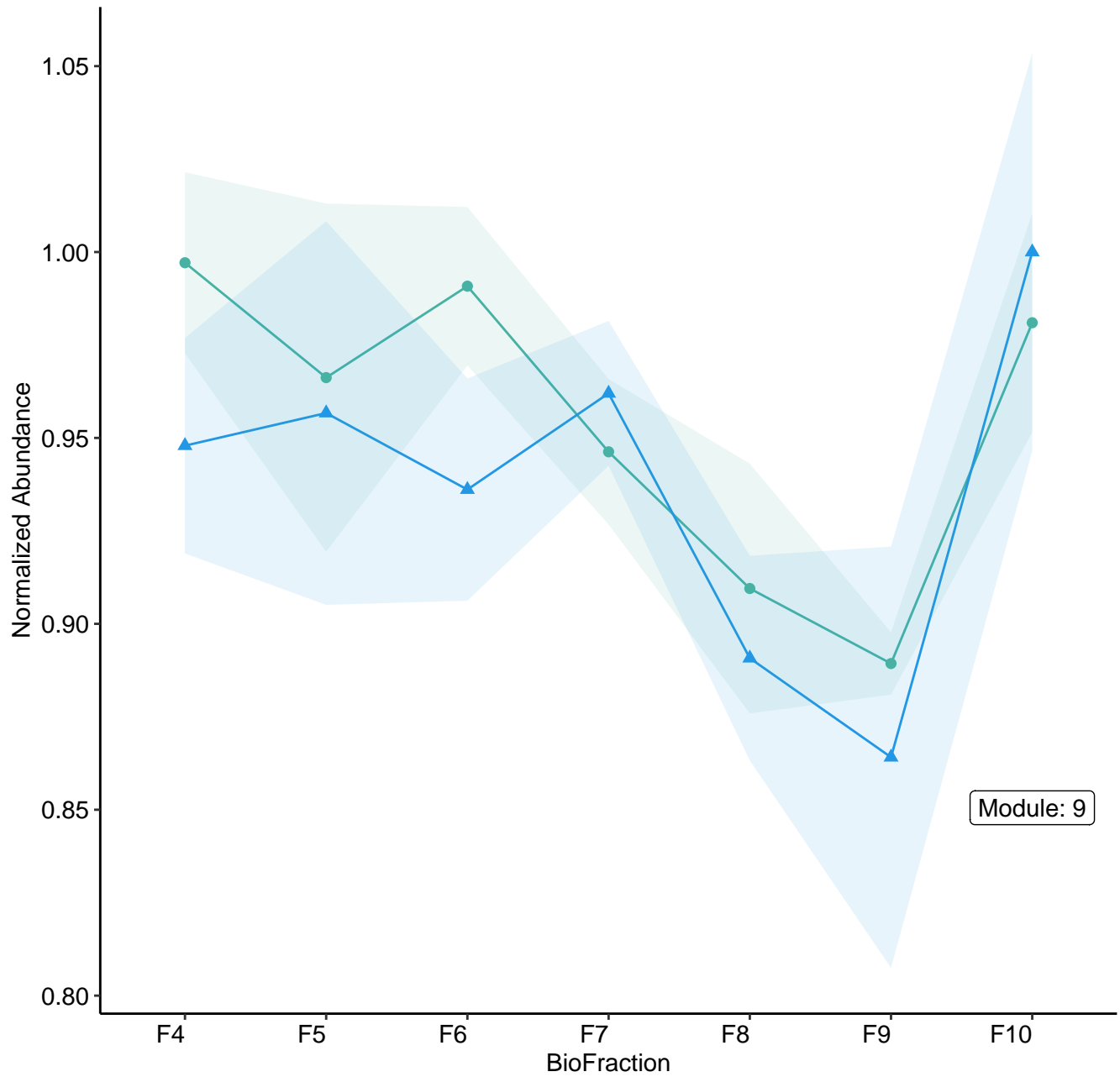


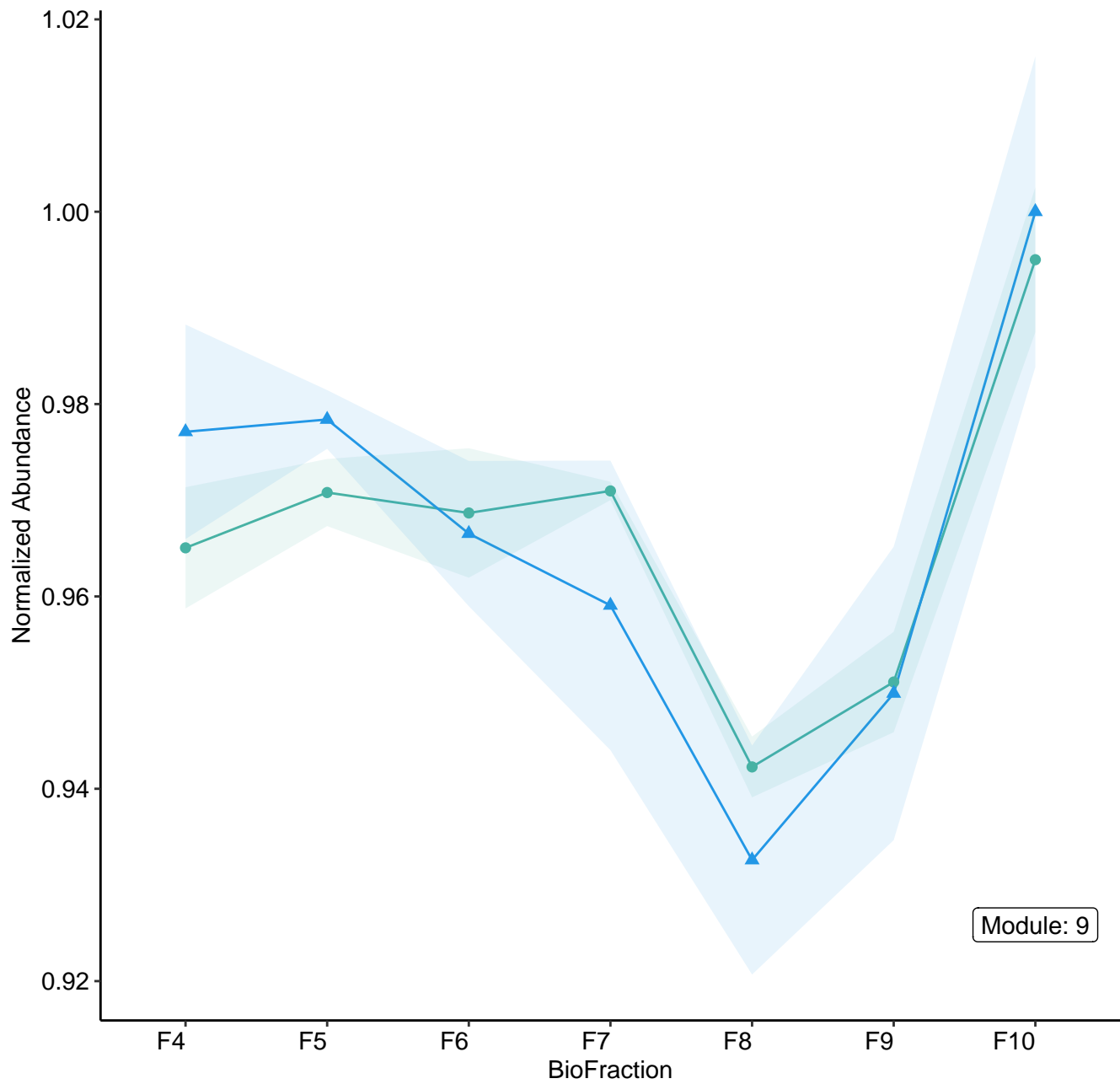
Module: 9

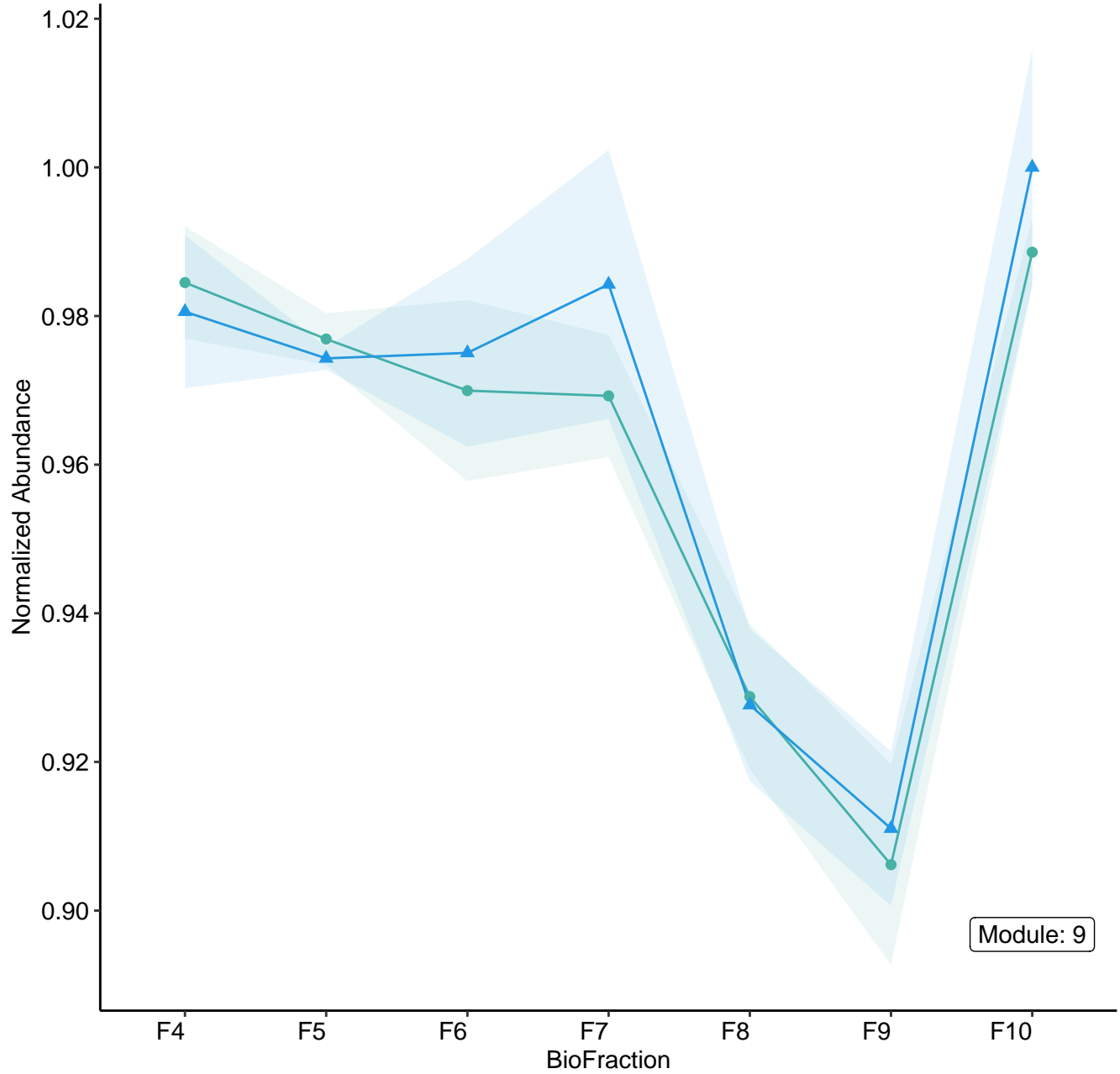


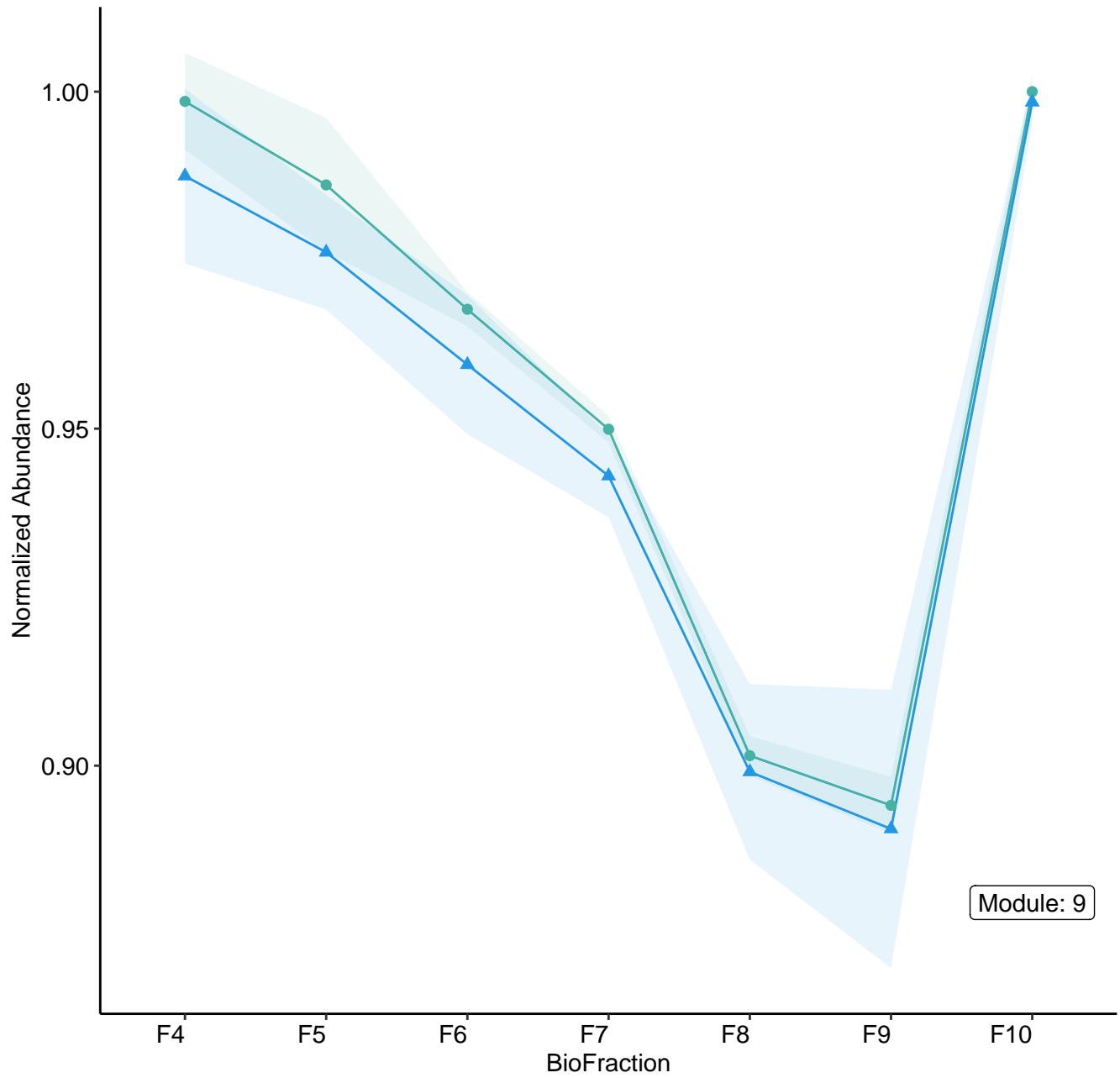
Module: 9



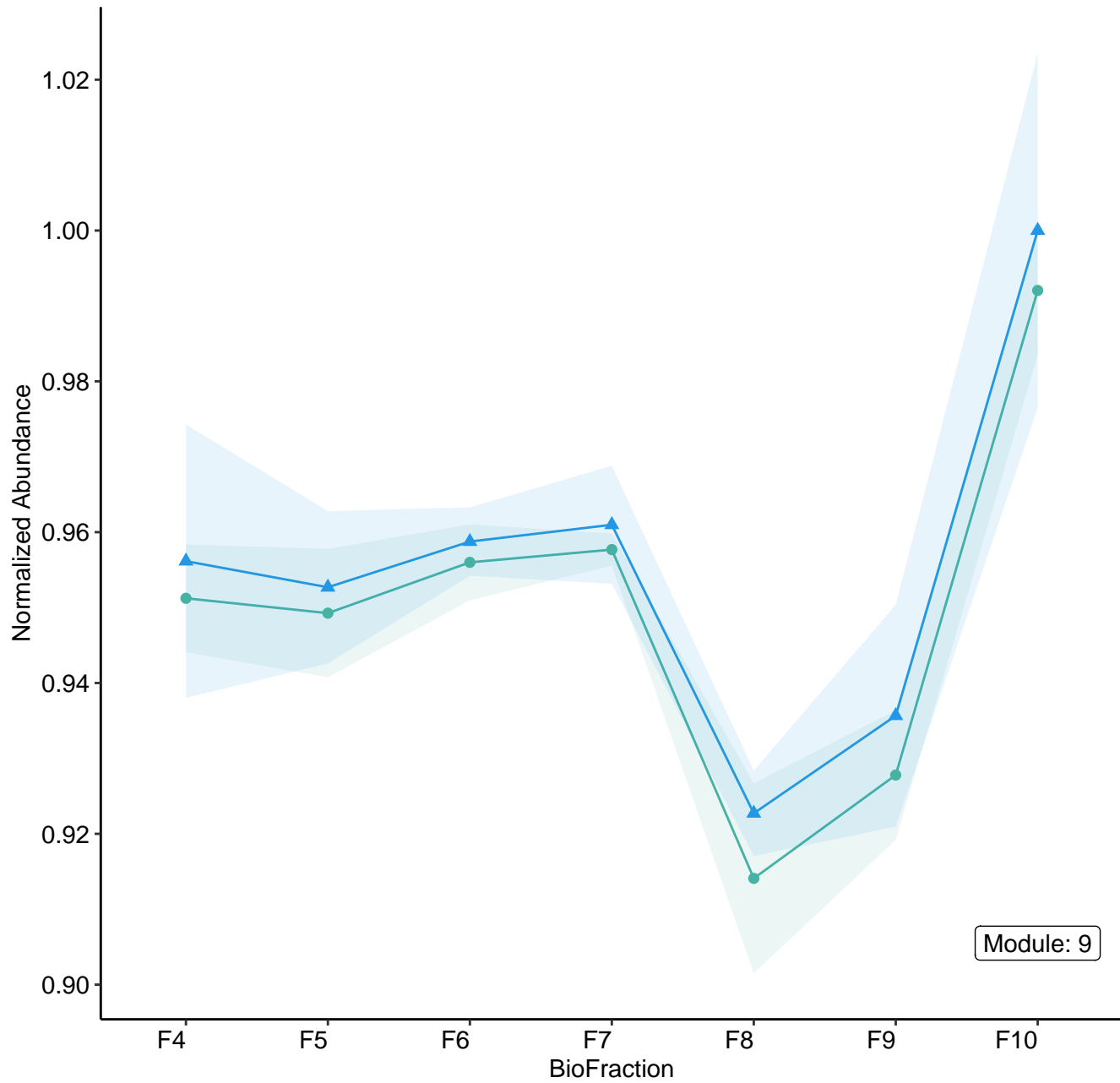


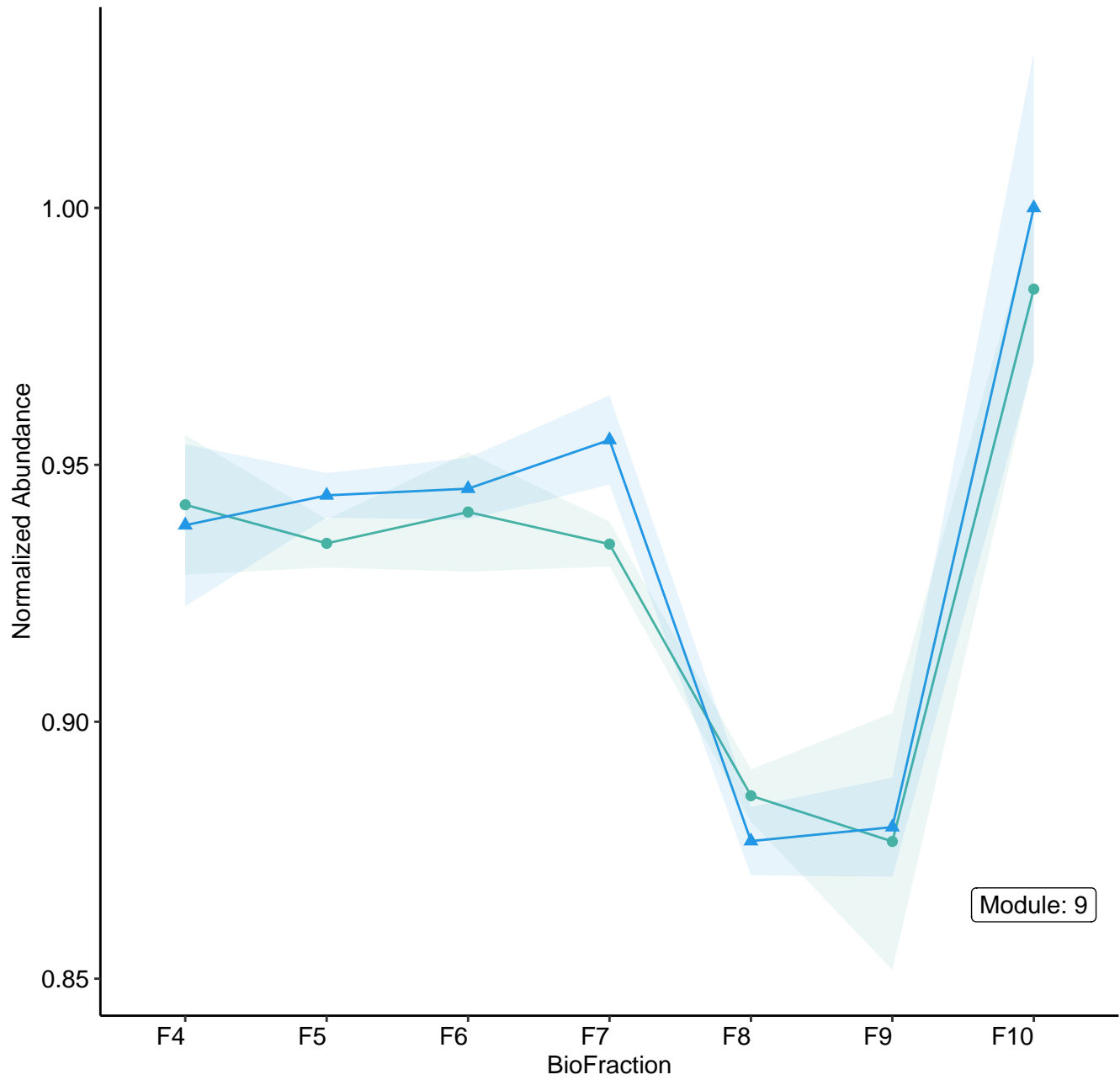


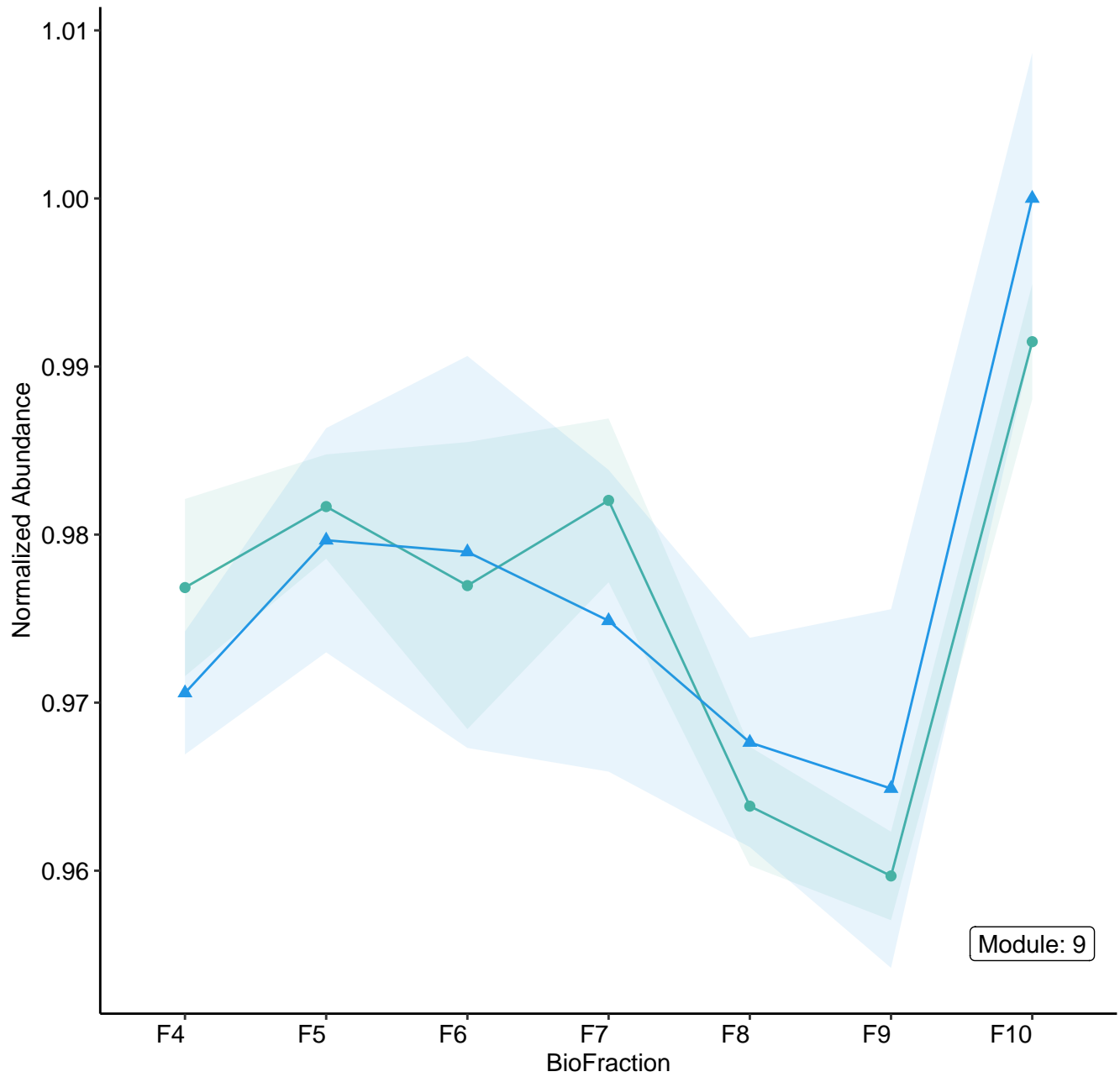


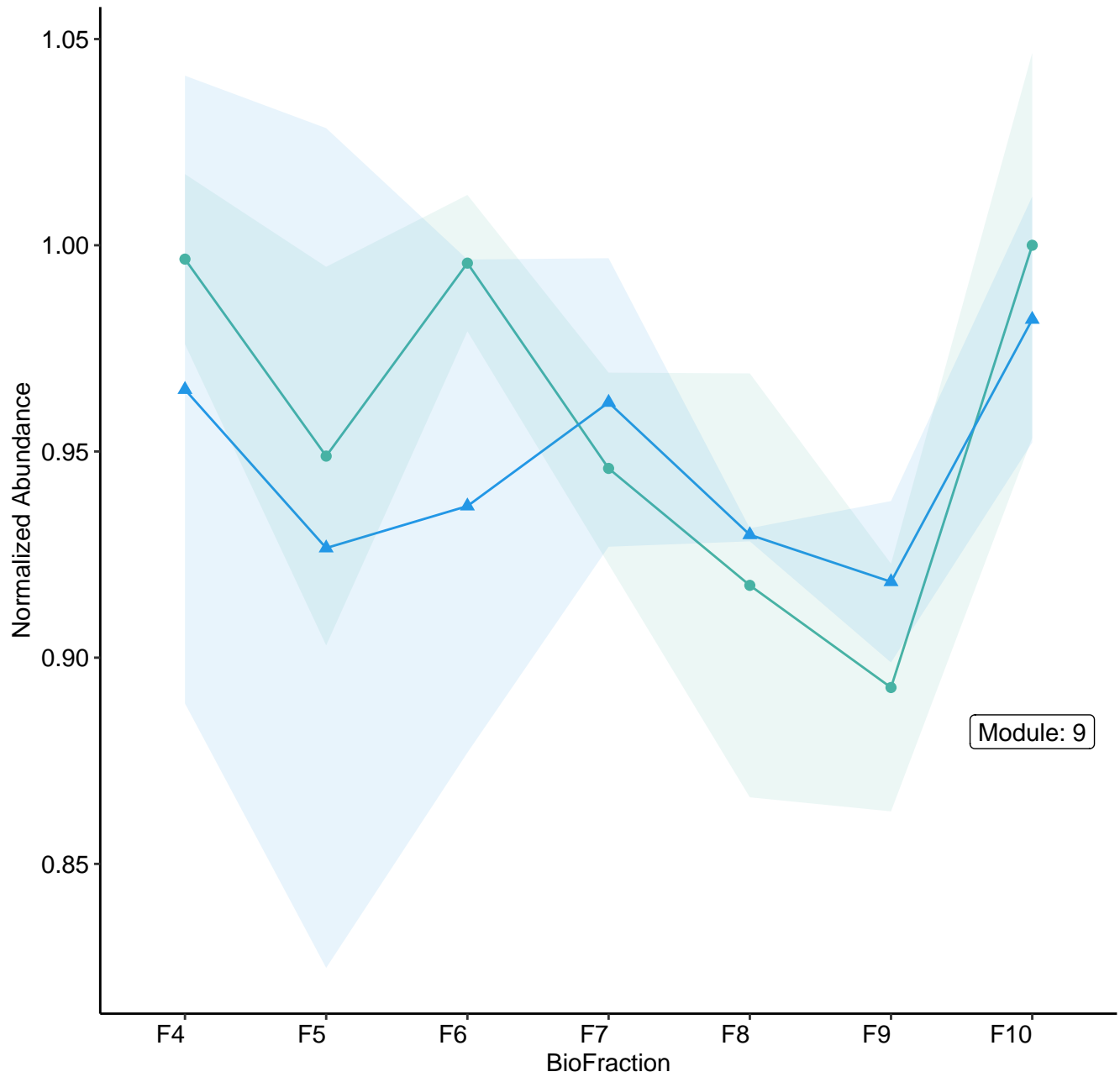


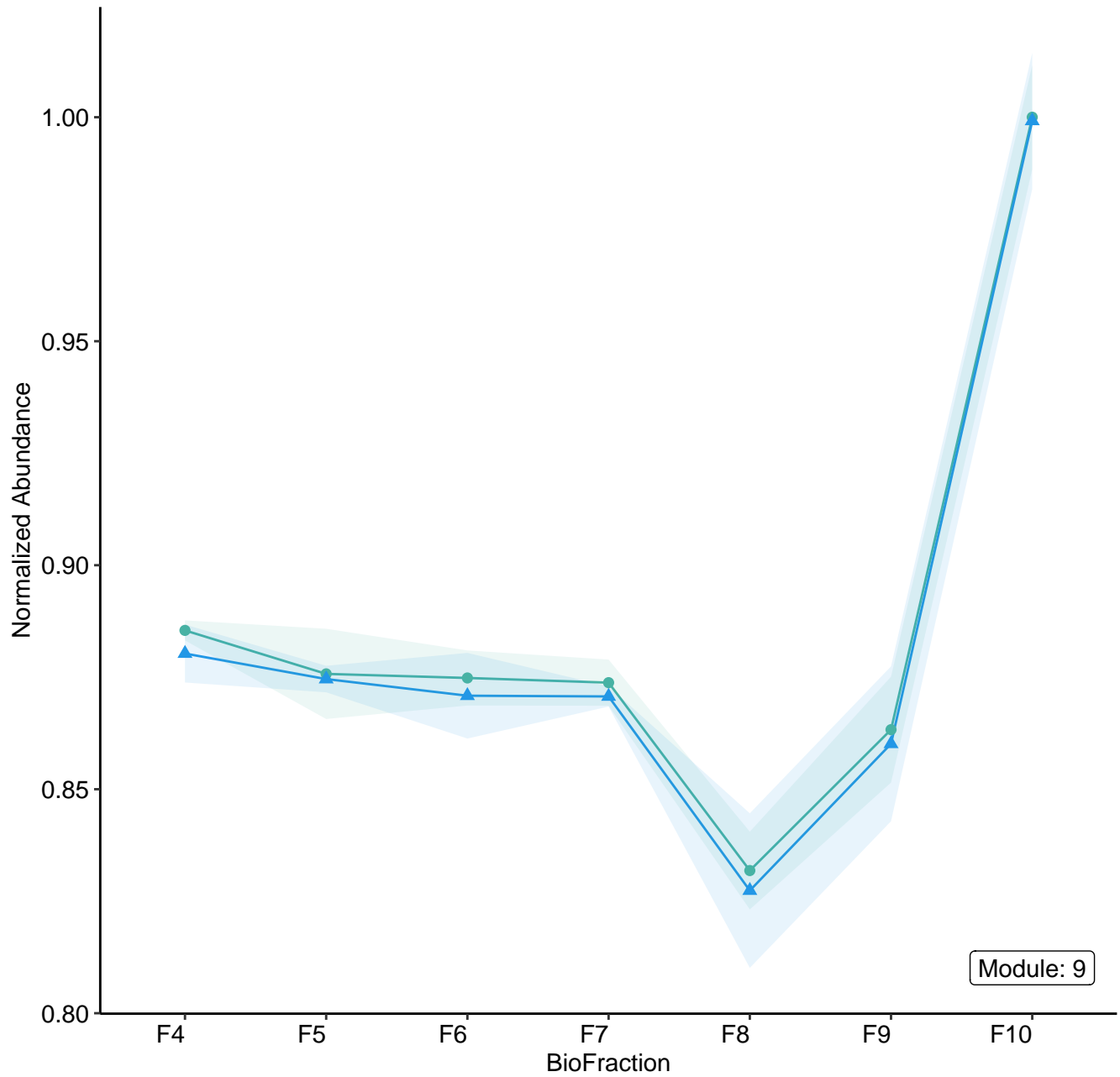


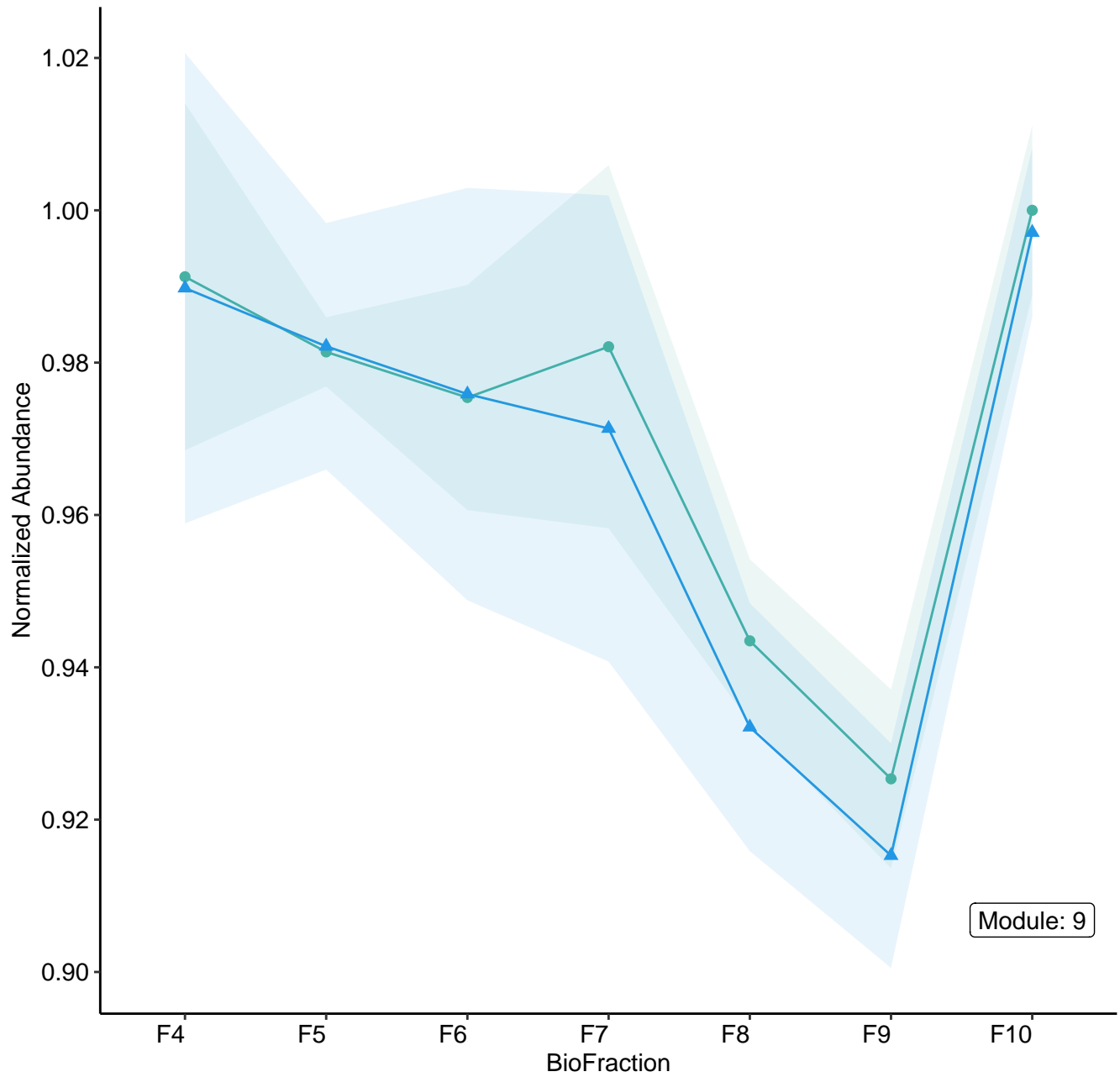


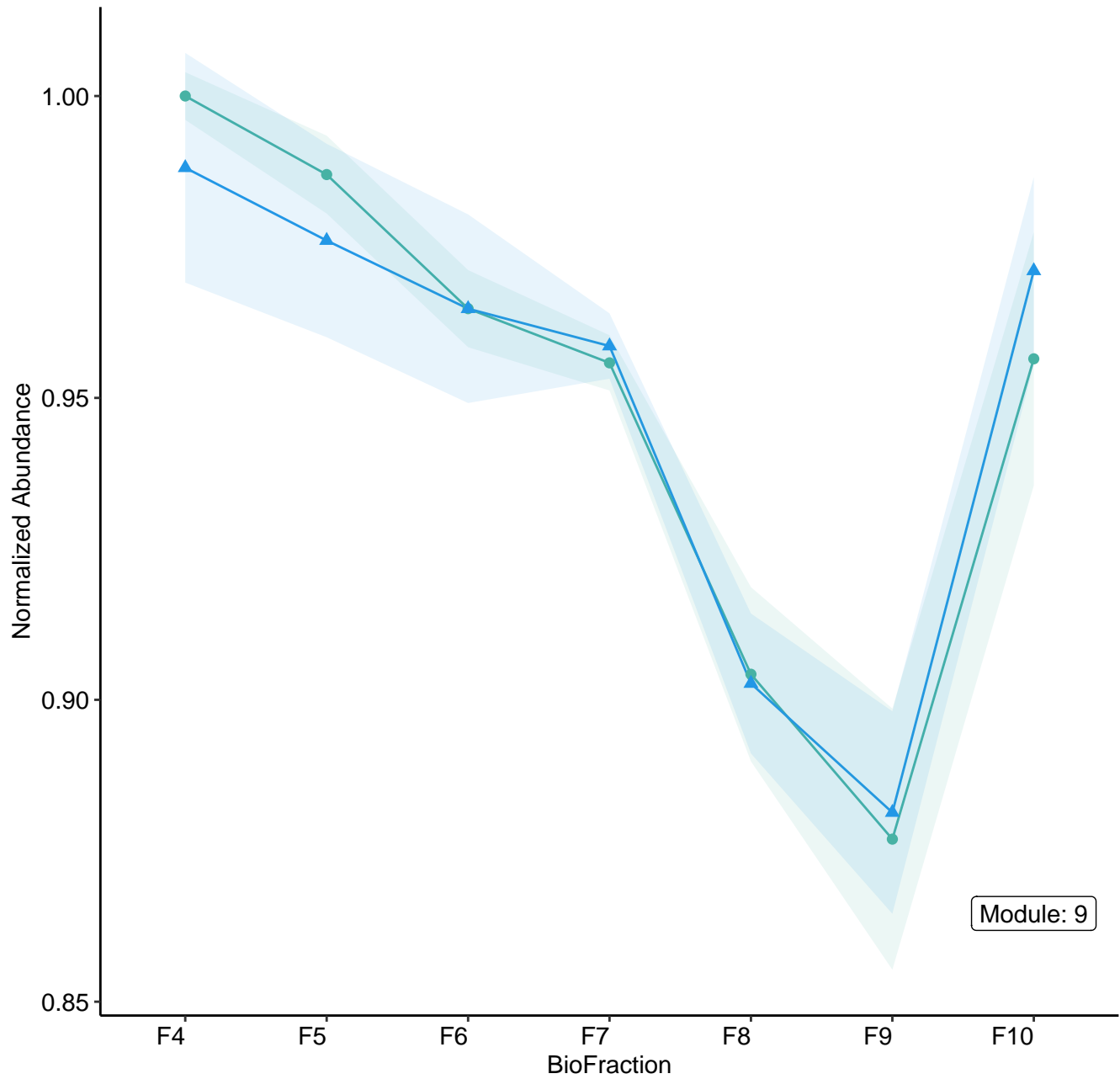


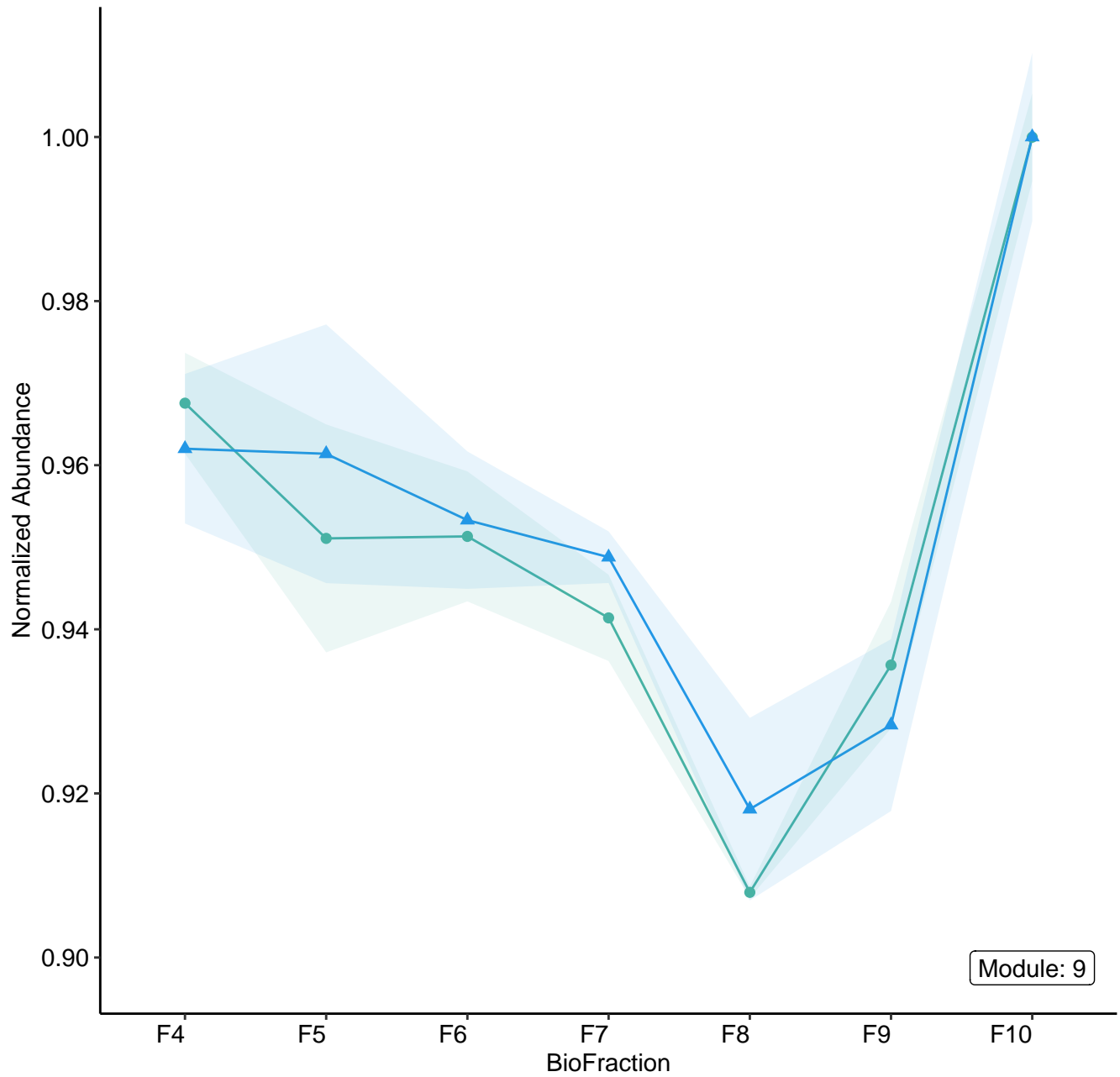




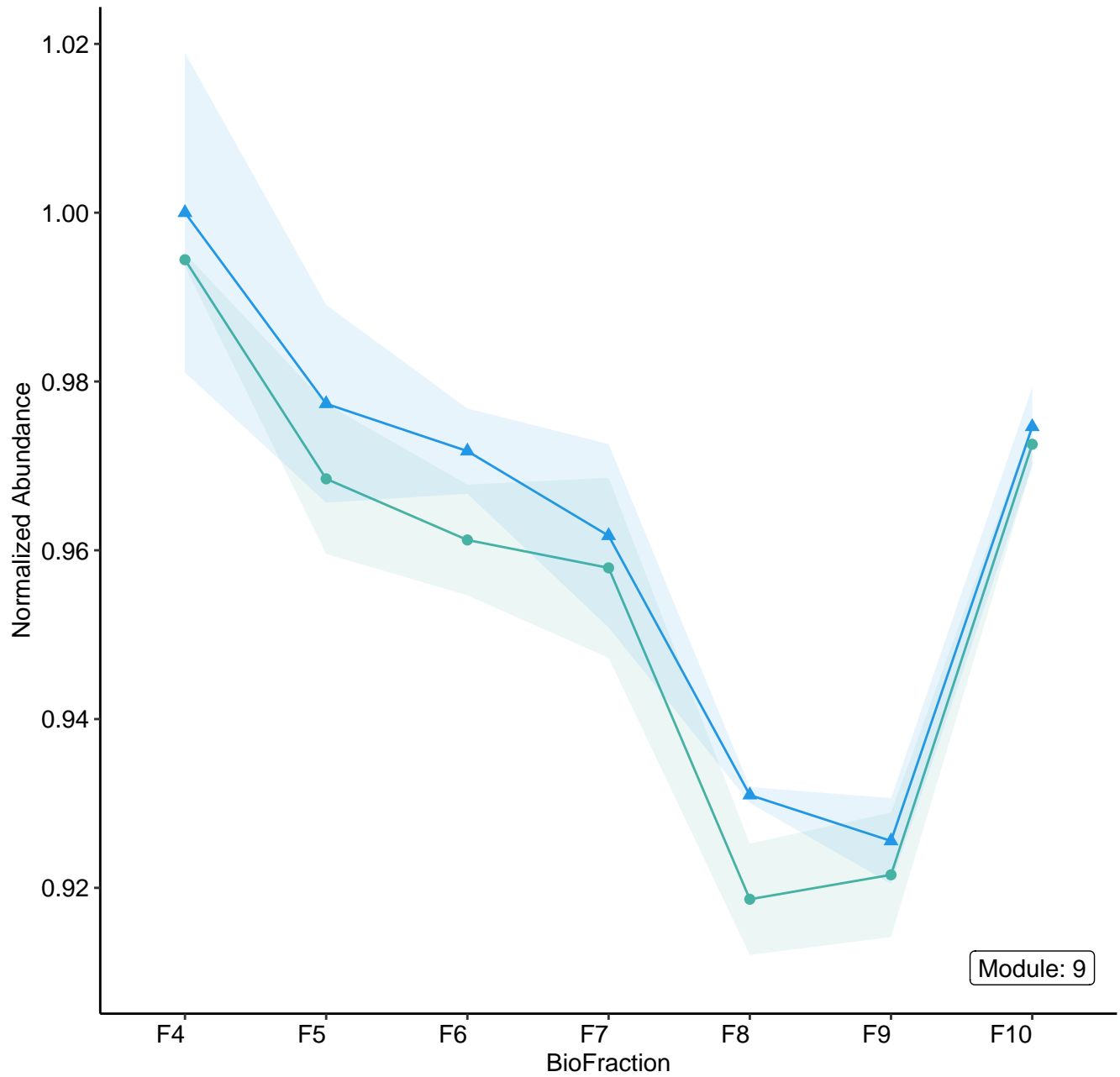


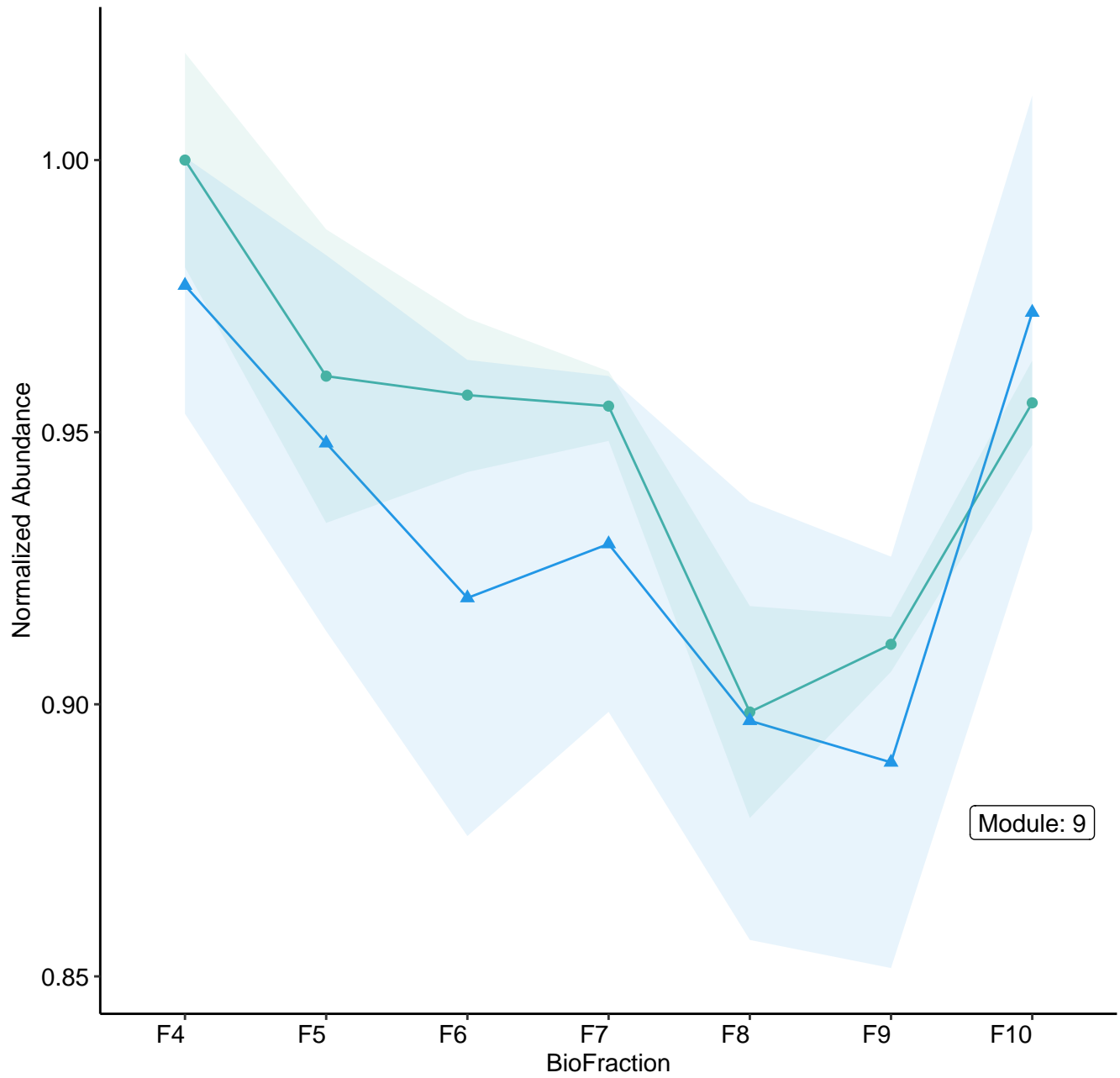


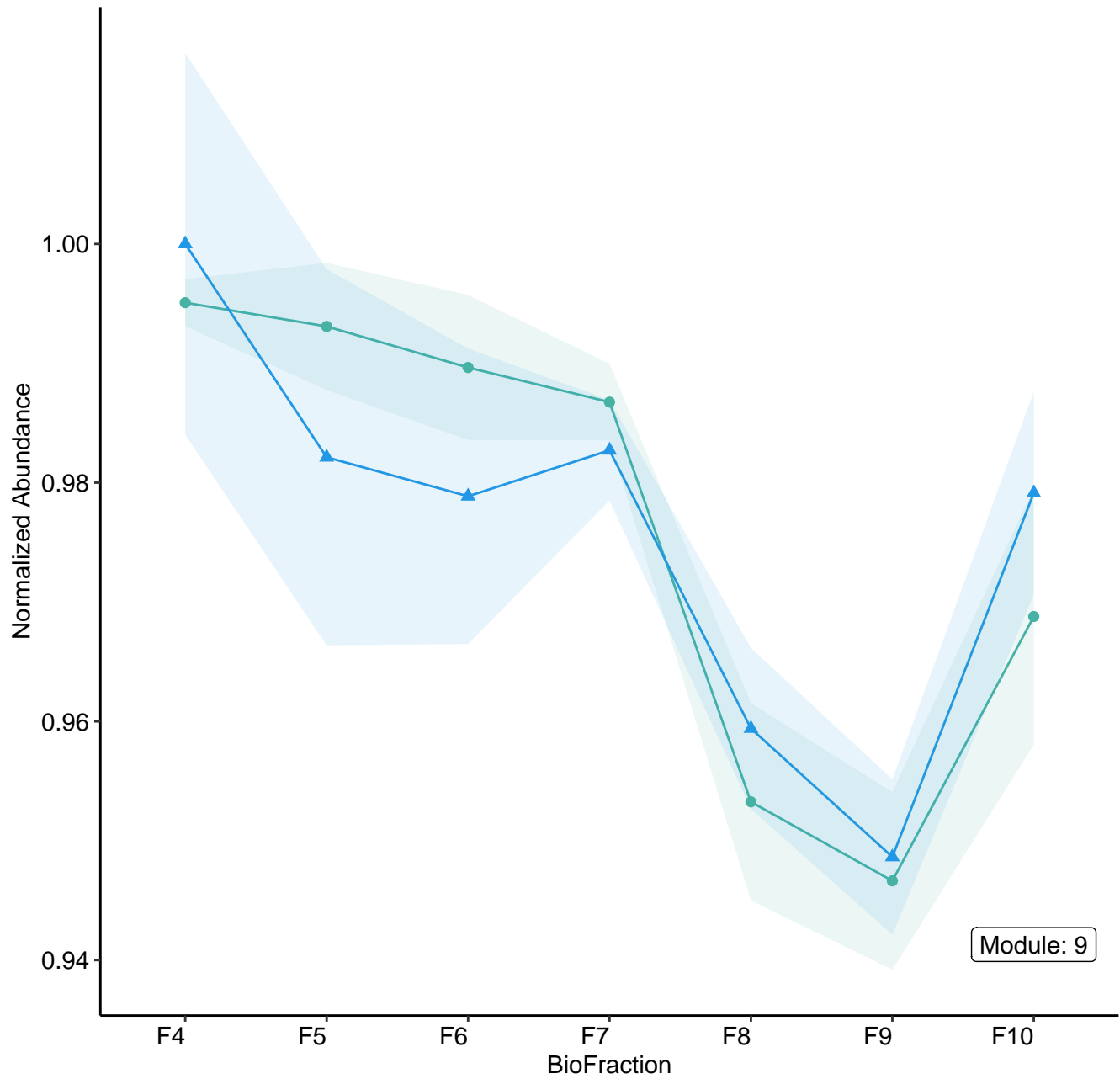


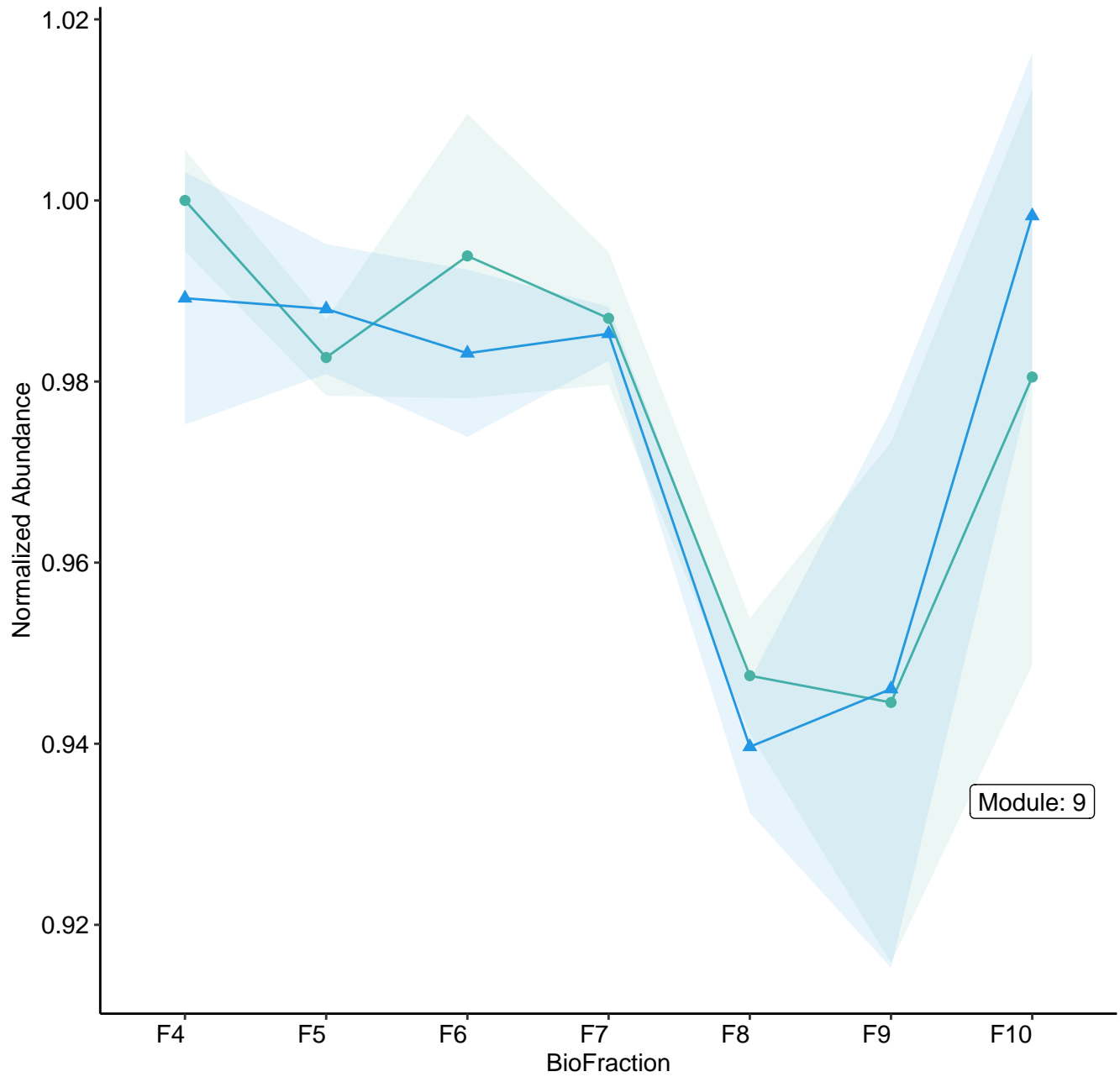


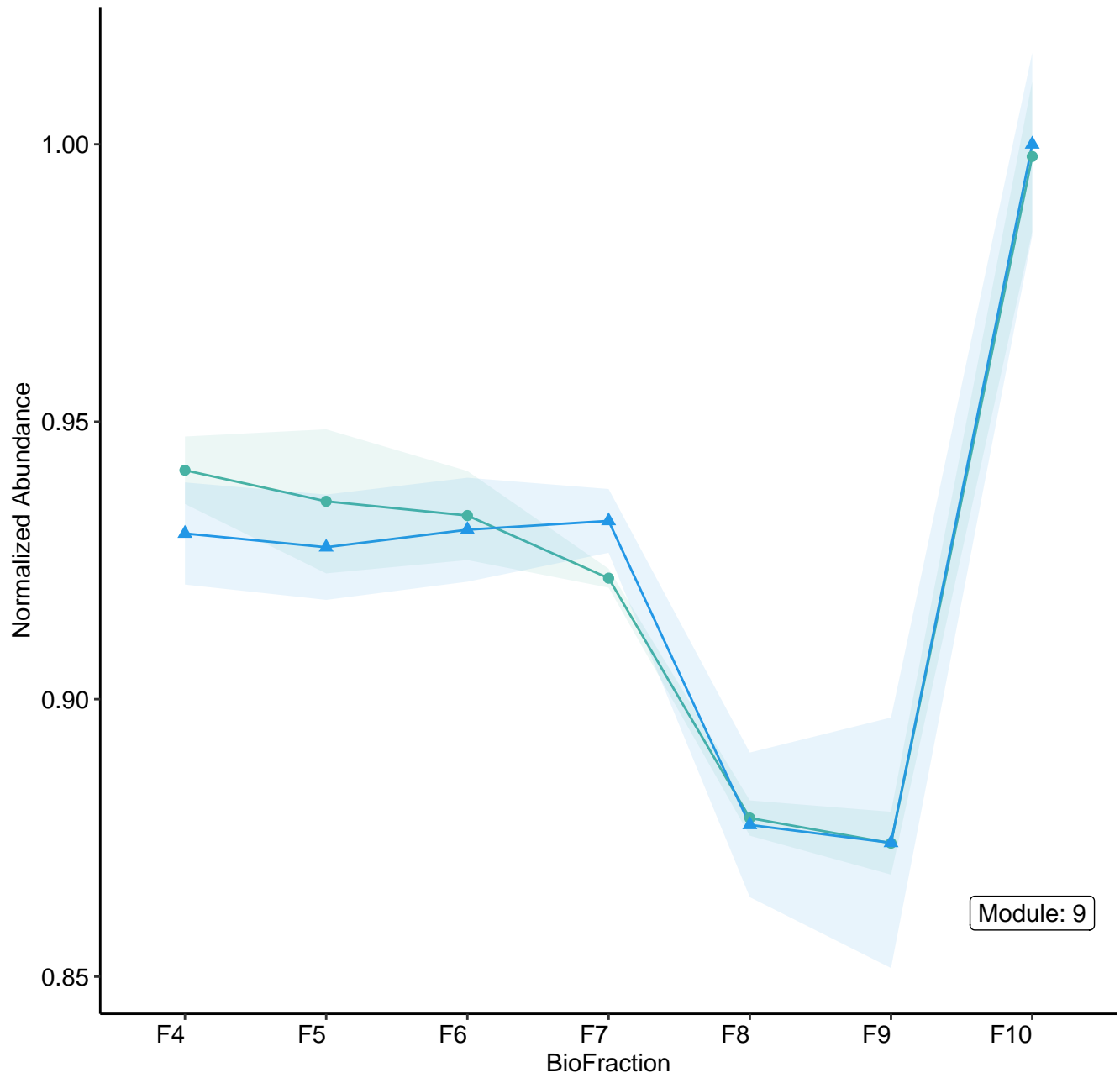


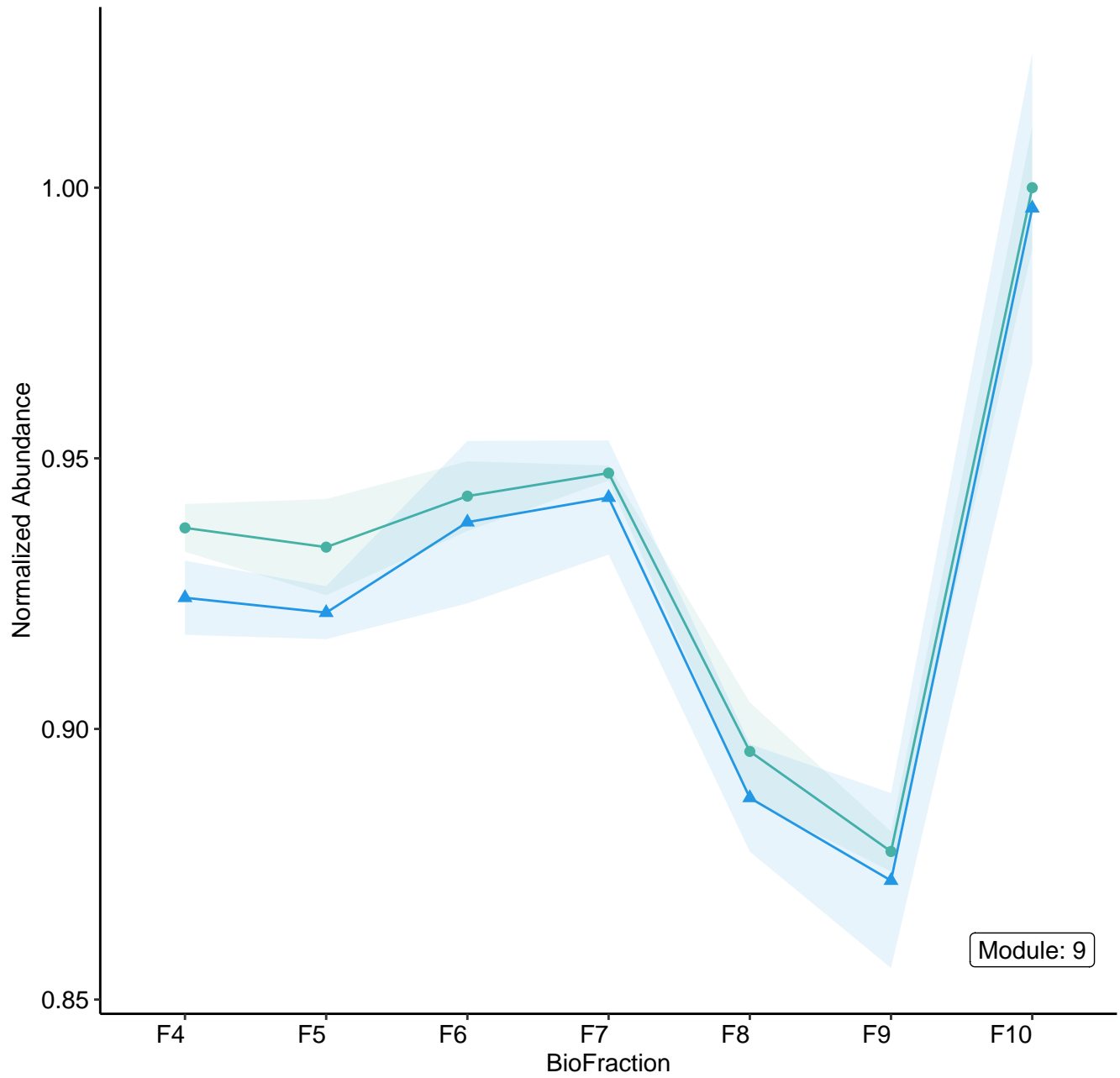


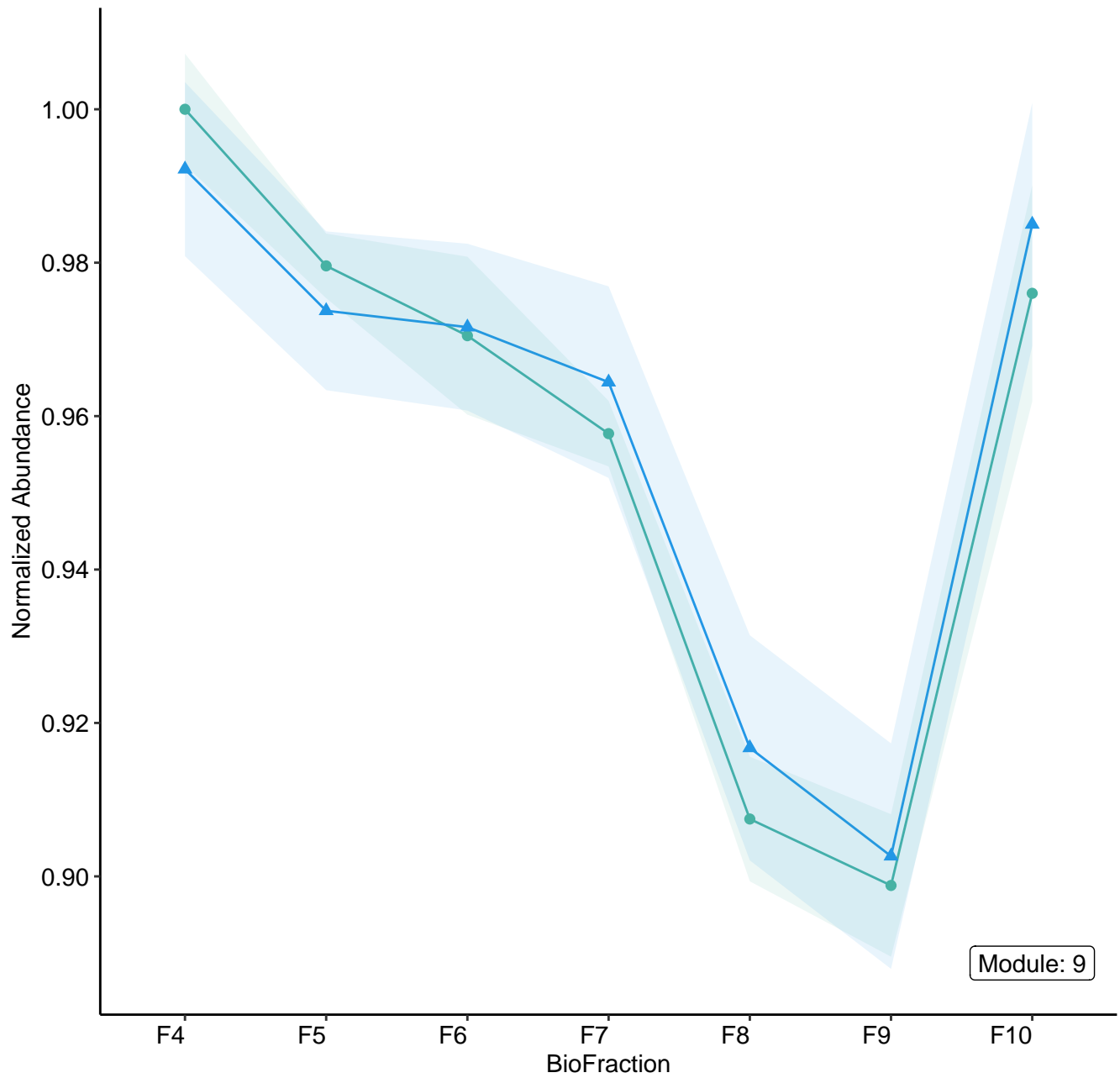


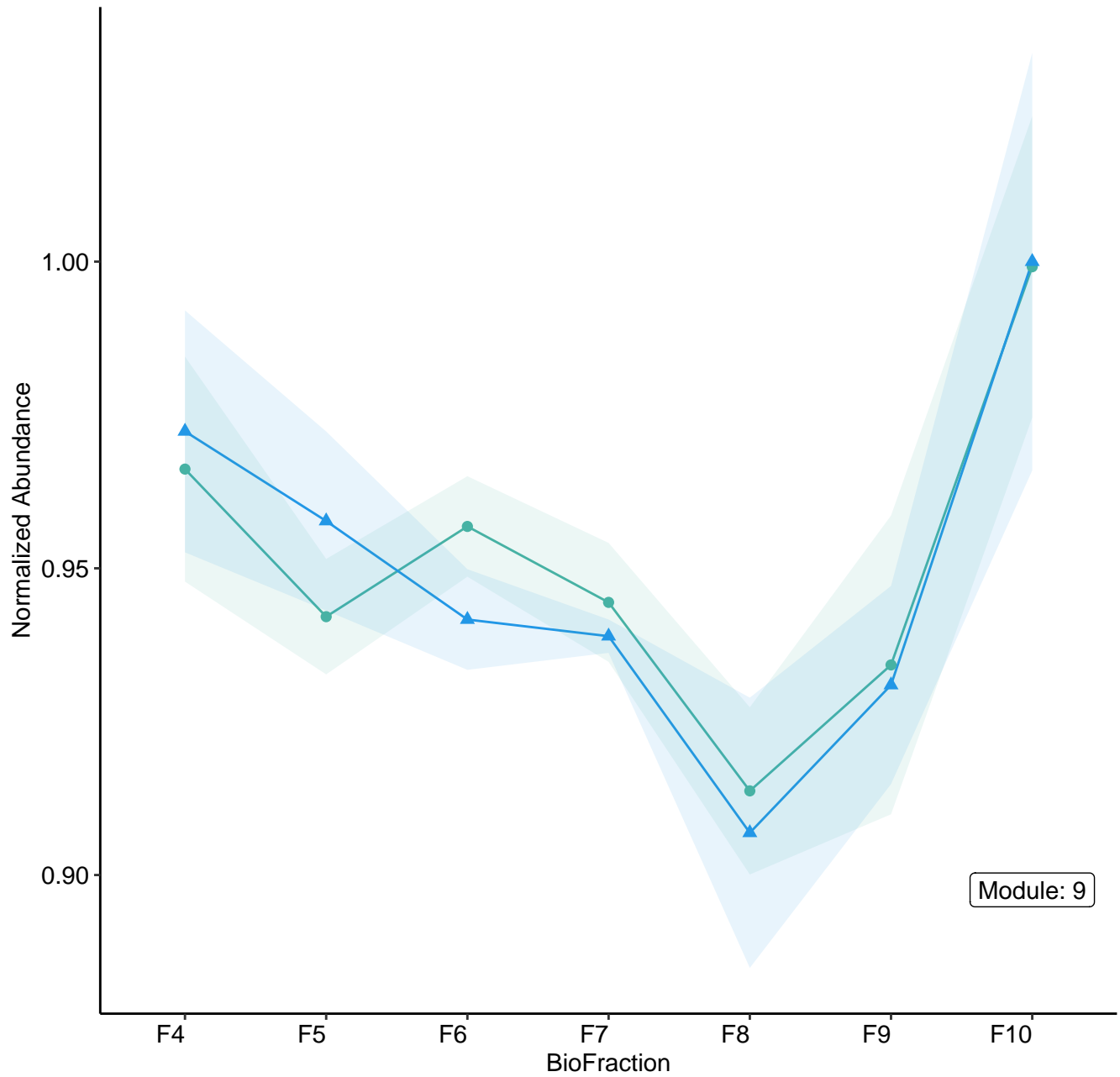




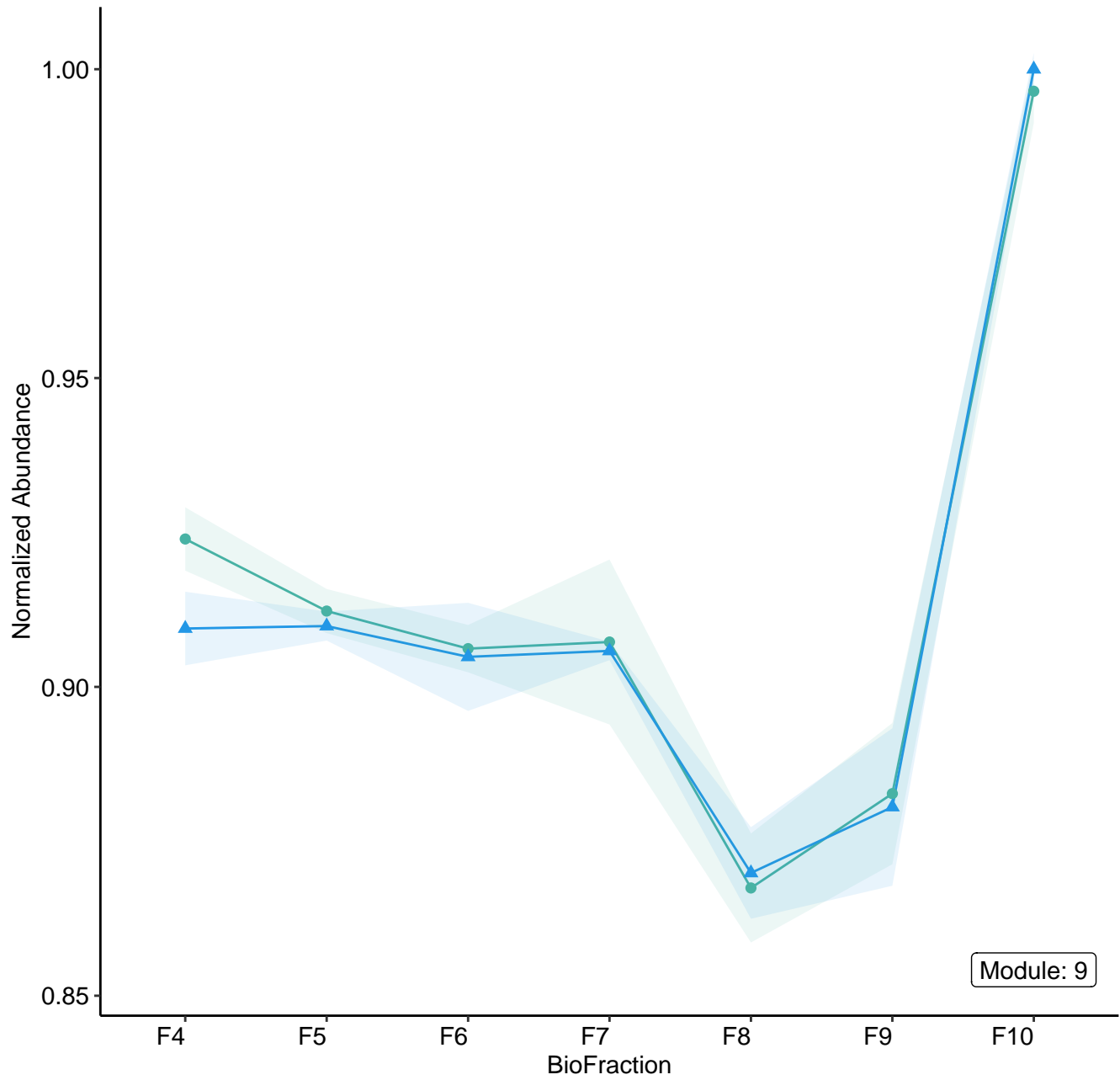












Normalized Abundance

1.00

0.95

0.90

F4

F5

F6

F7

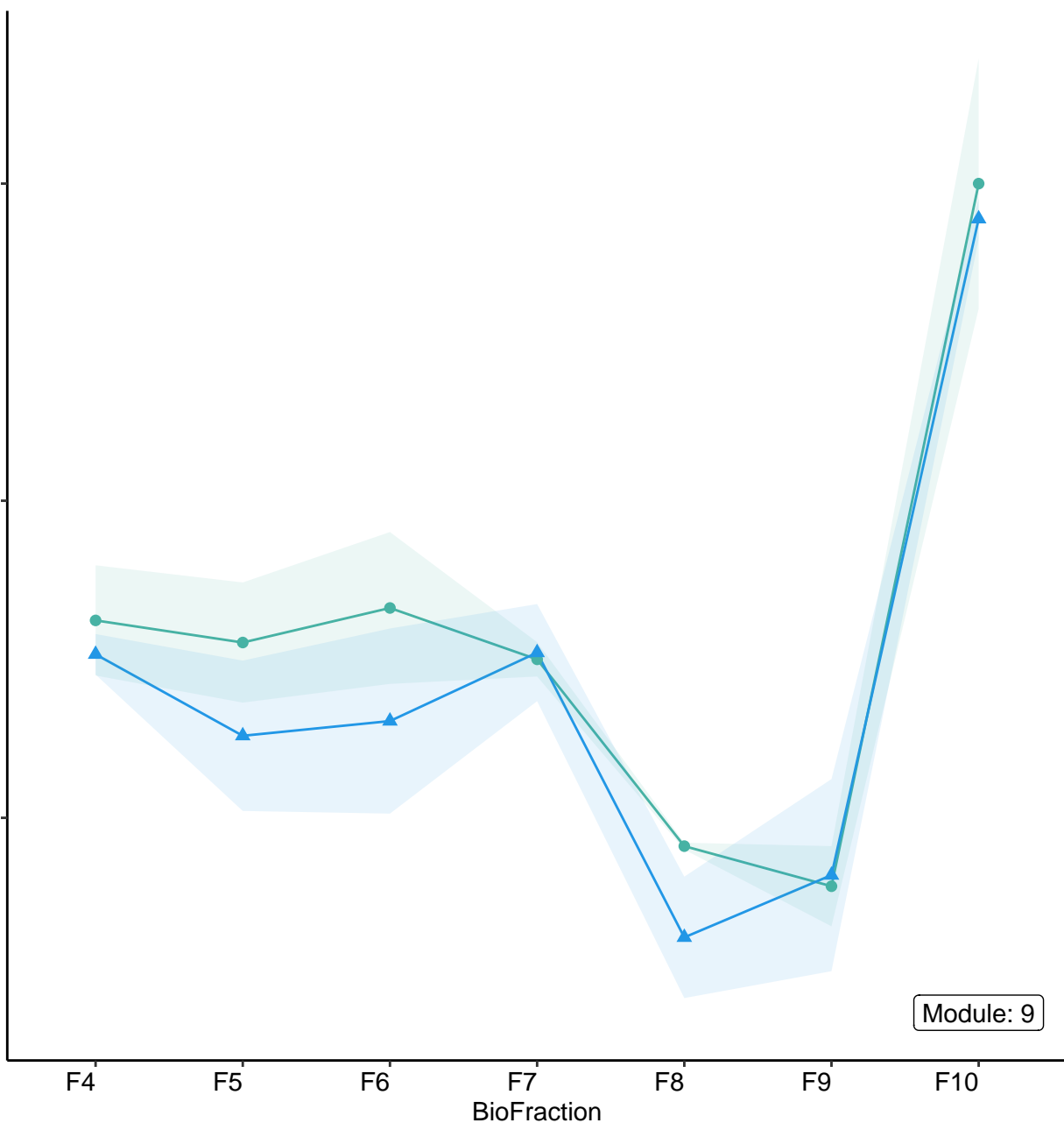
F8

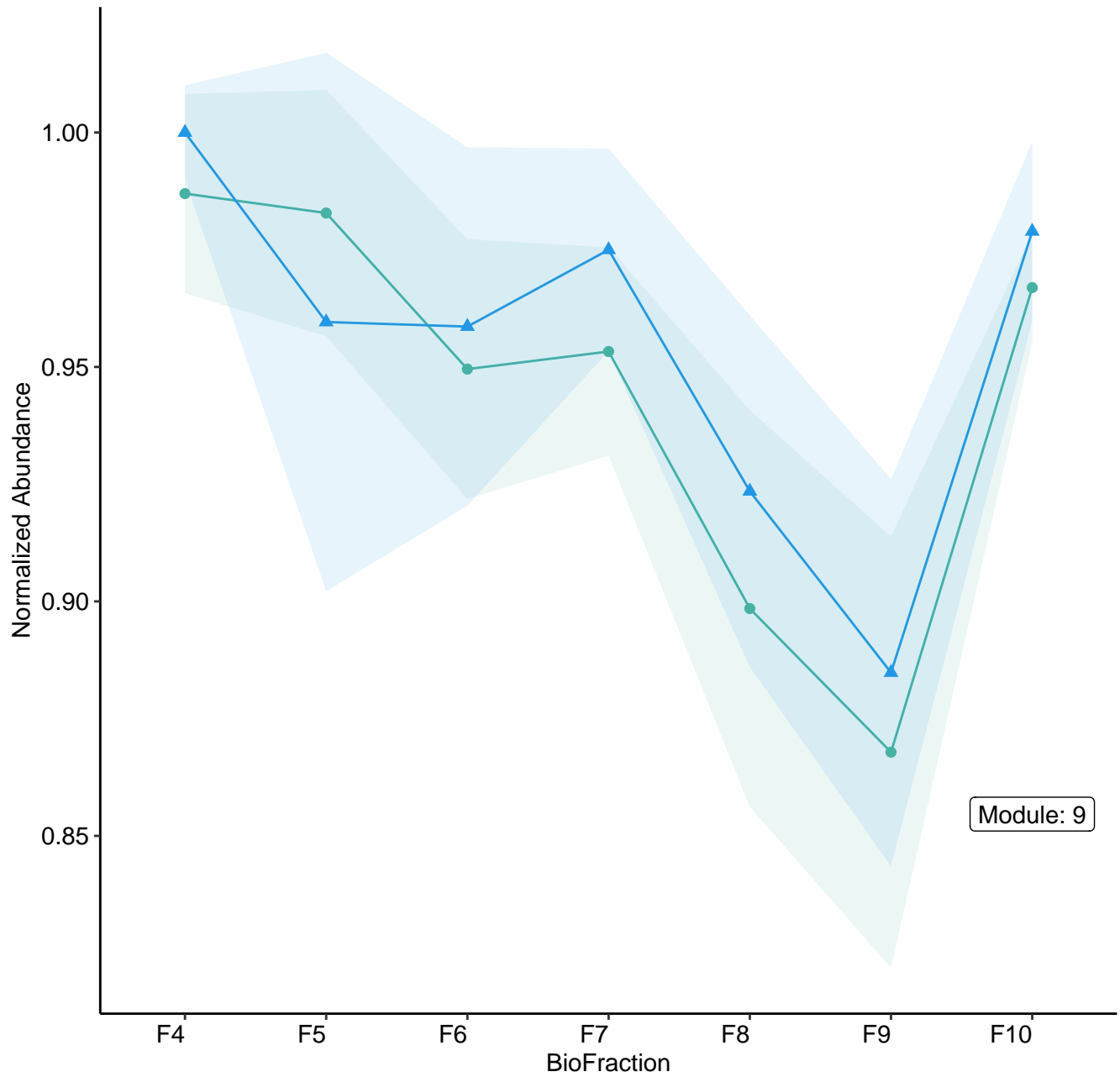
F9

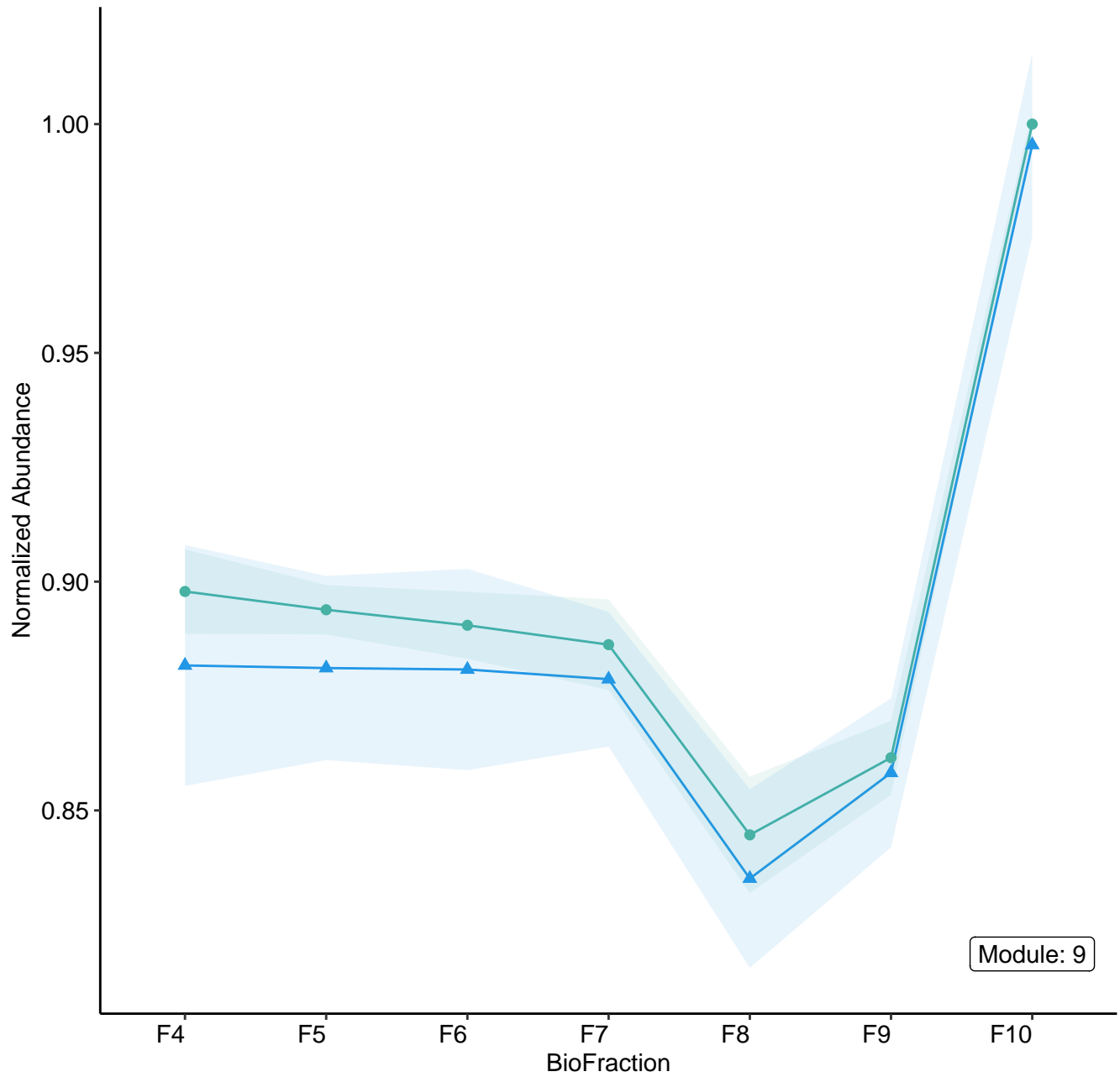
F10

BioFraction

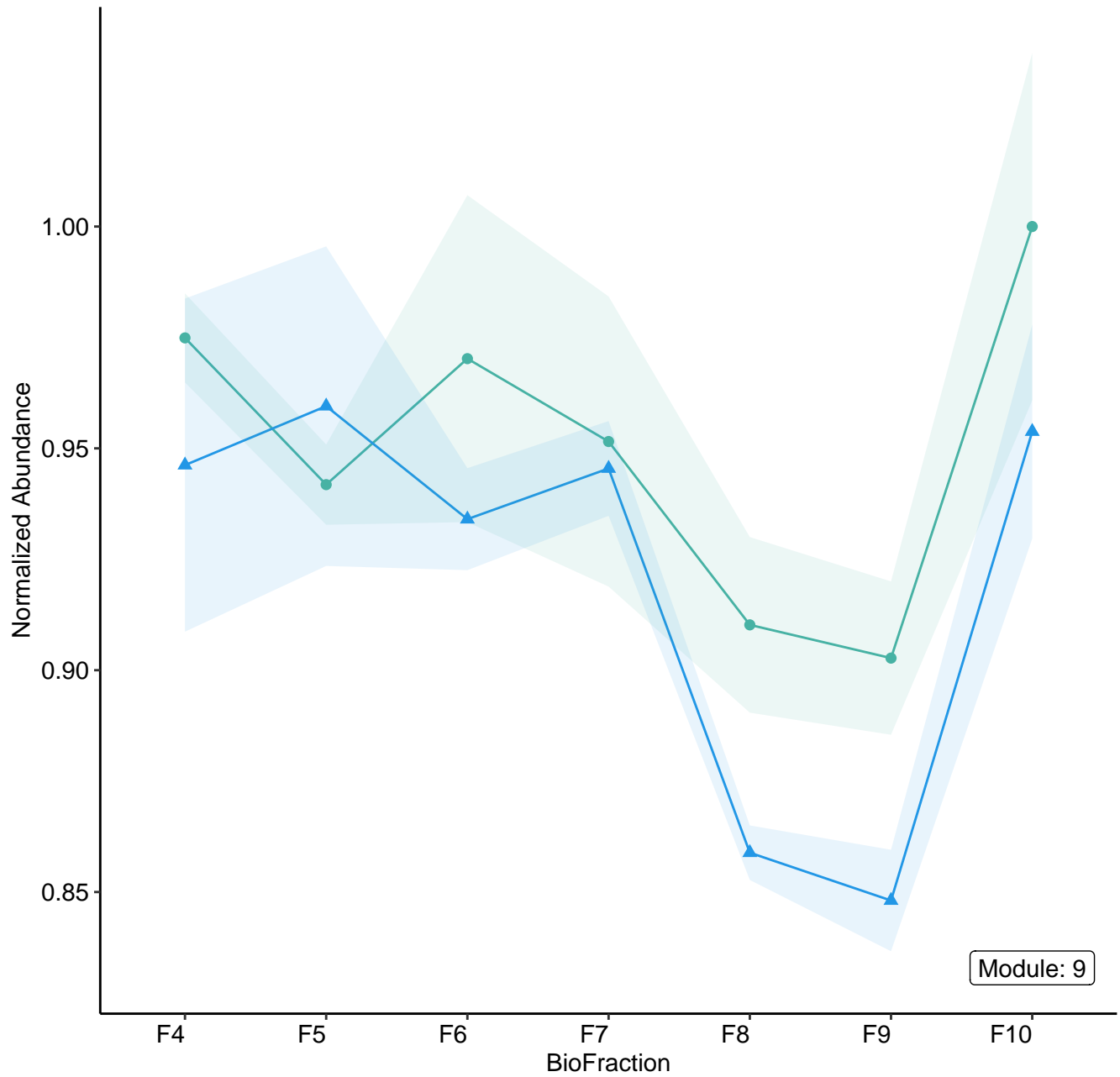
Module: 9

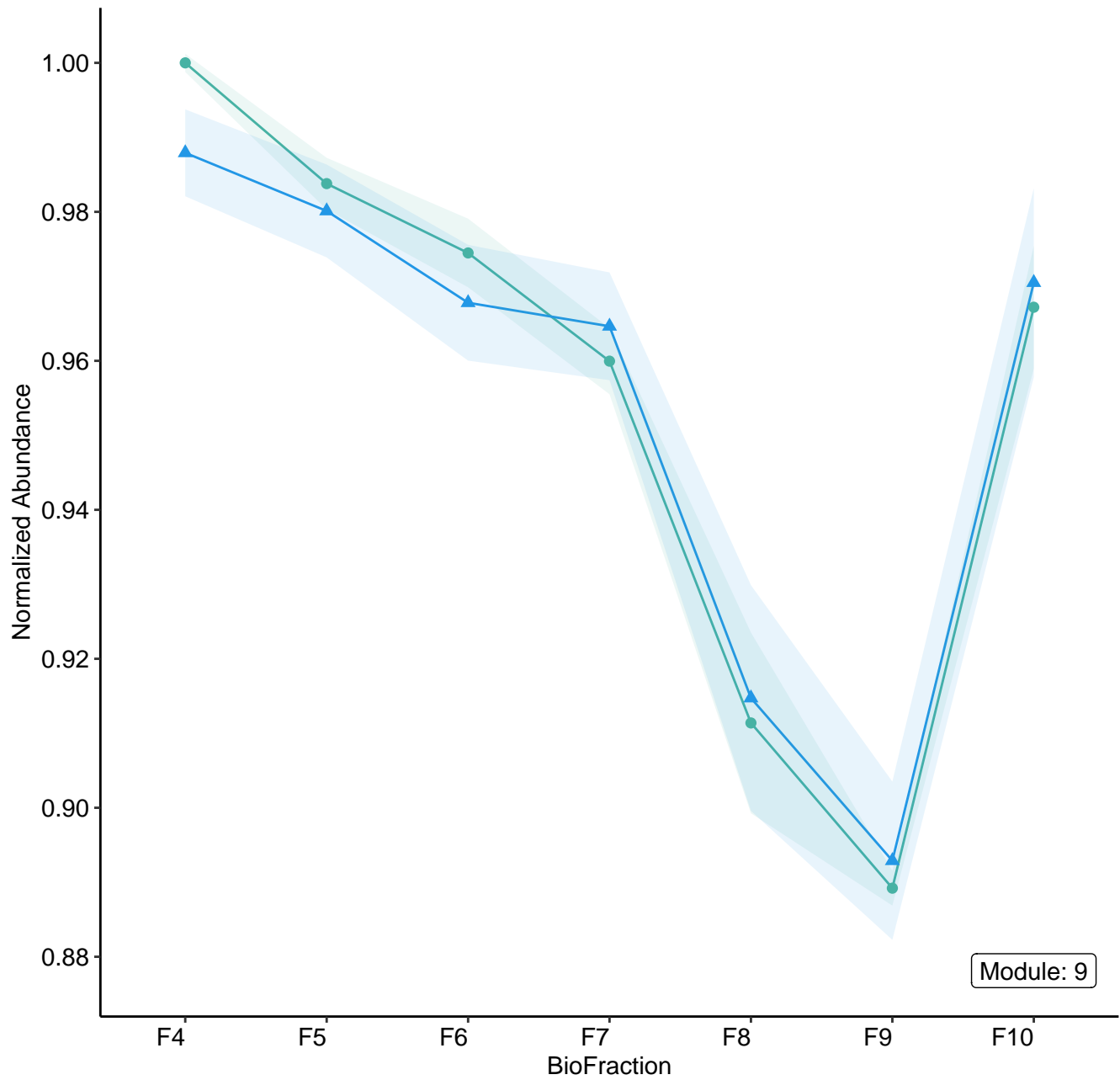


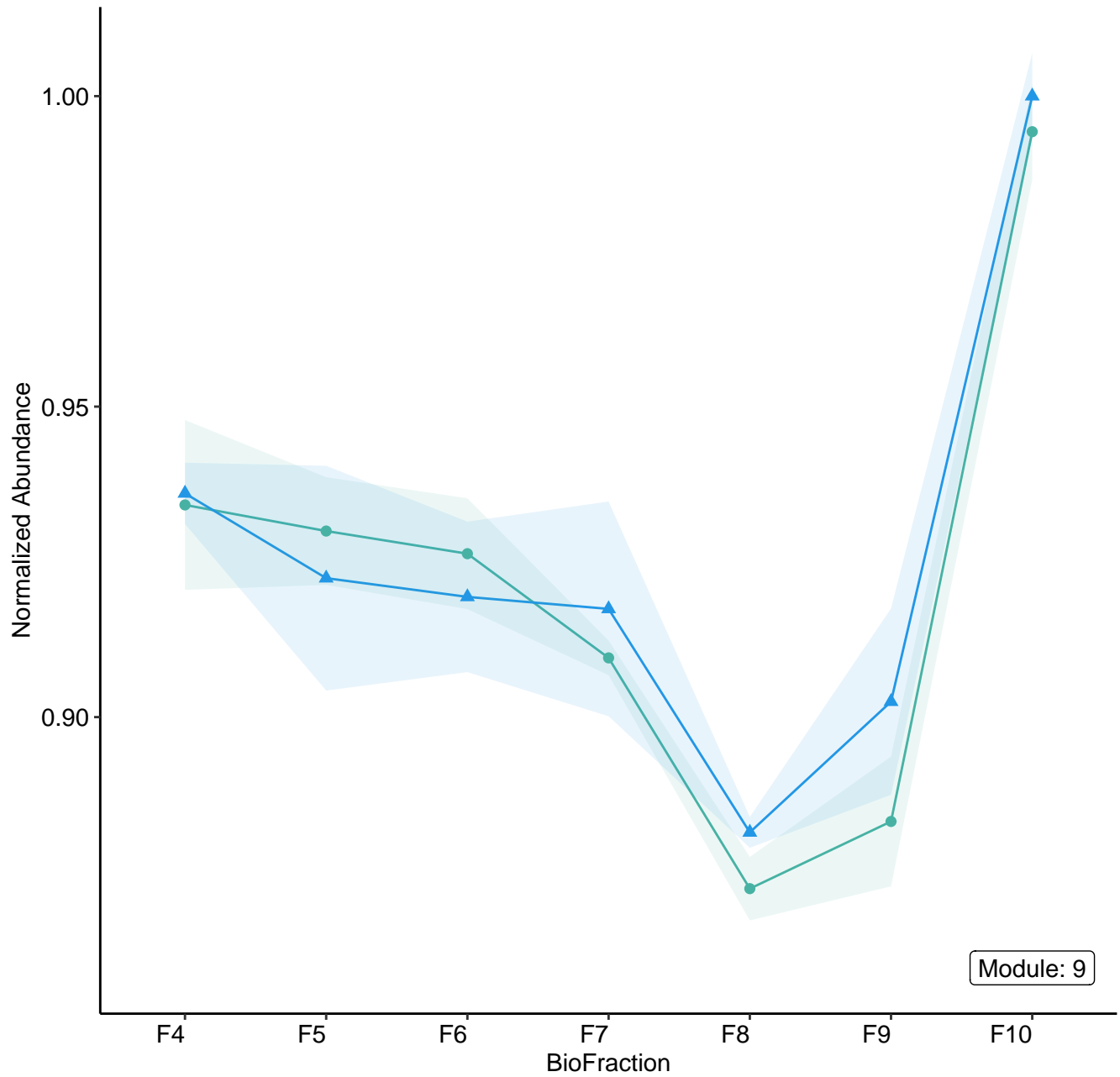


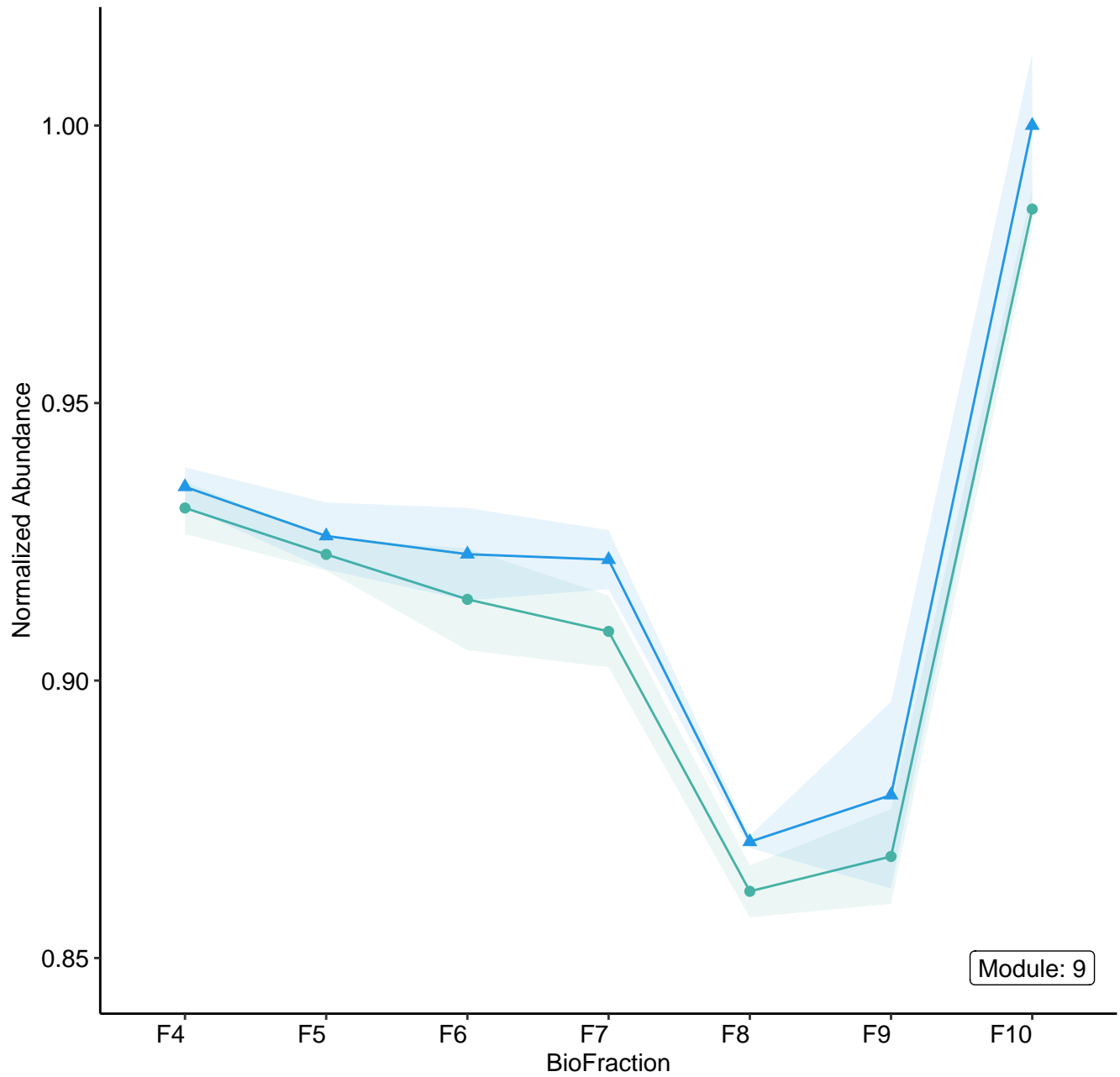


Module: 9

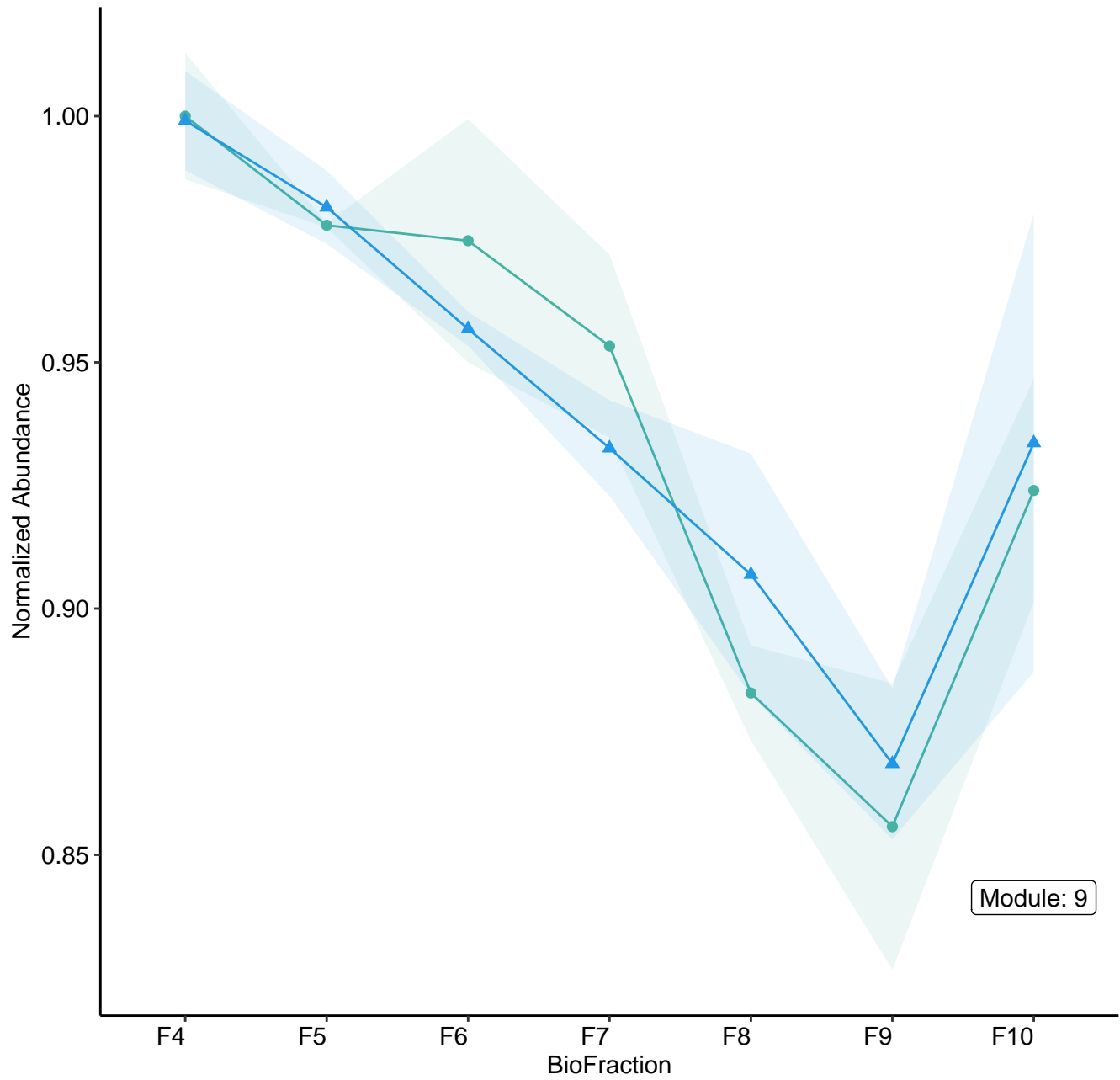


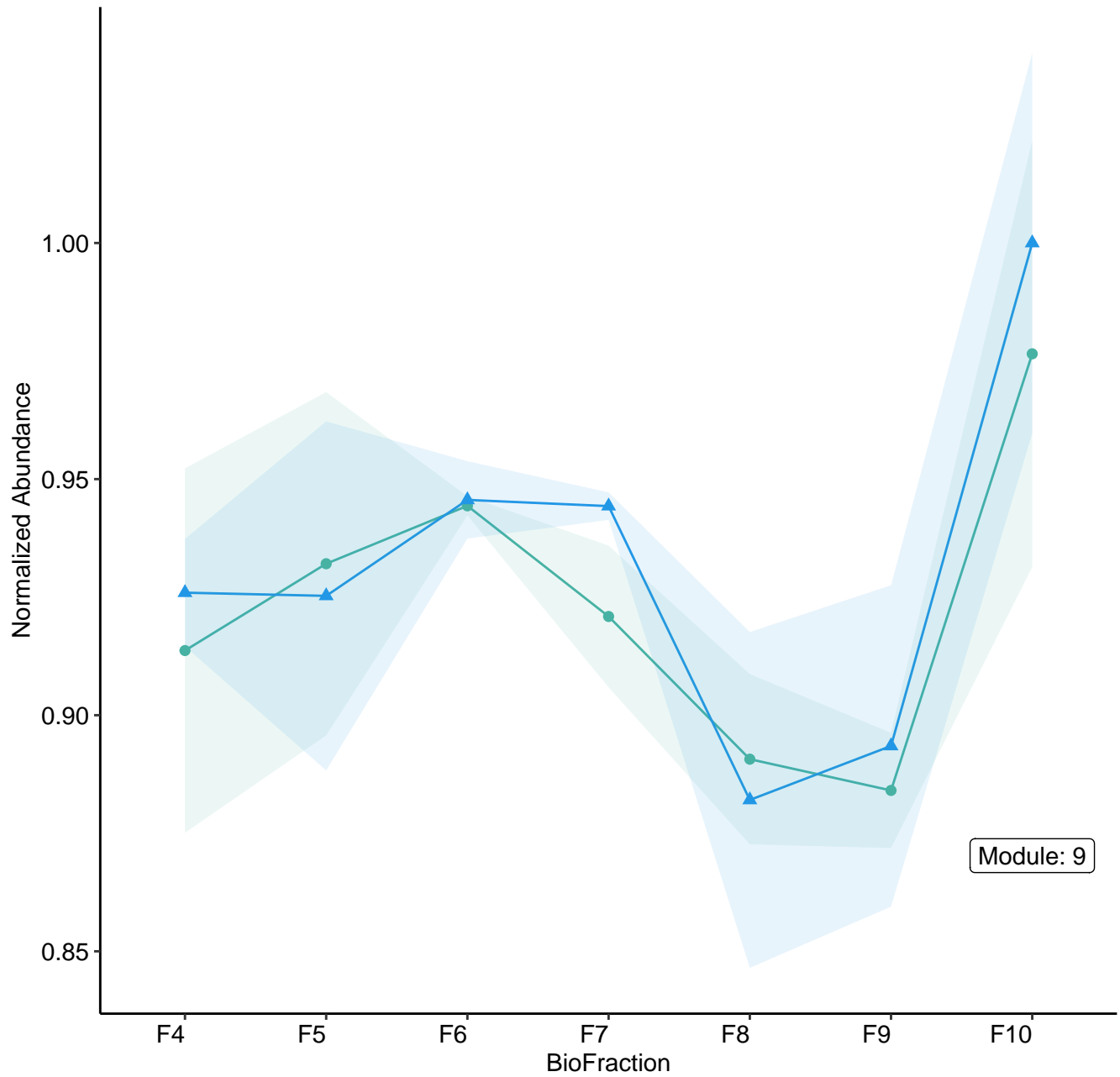


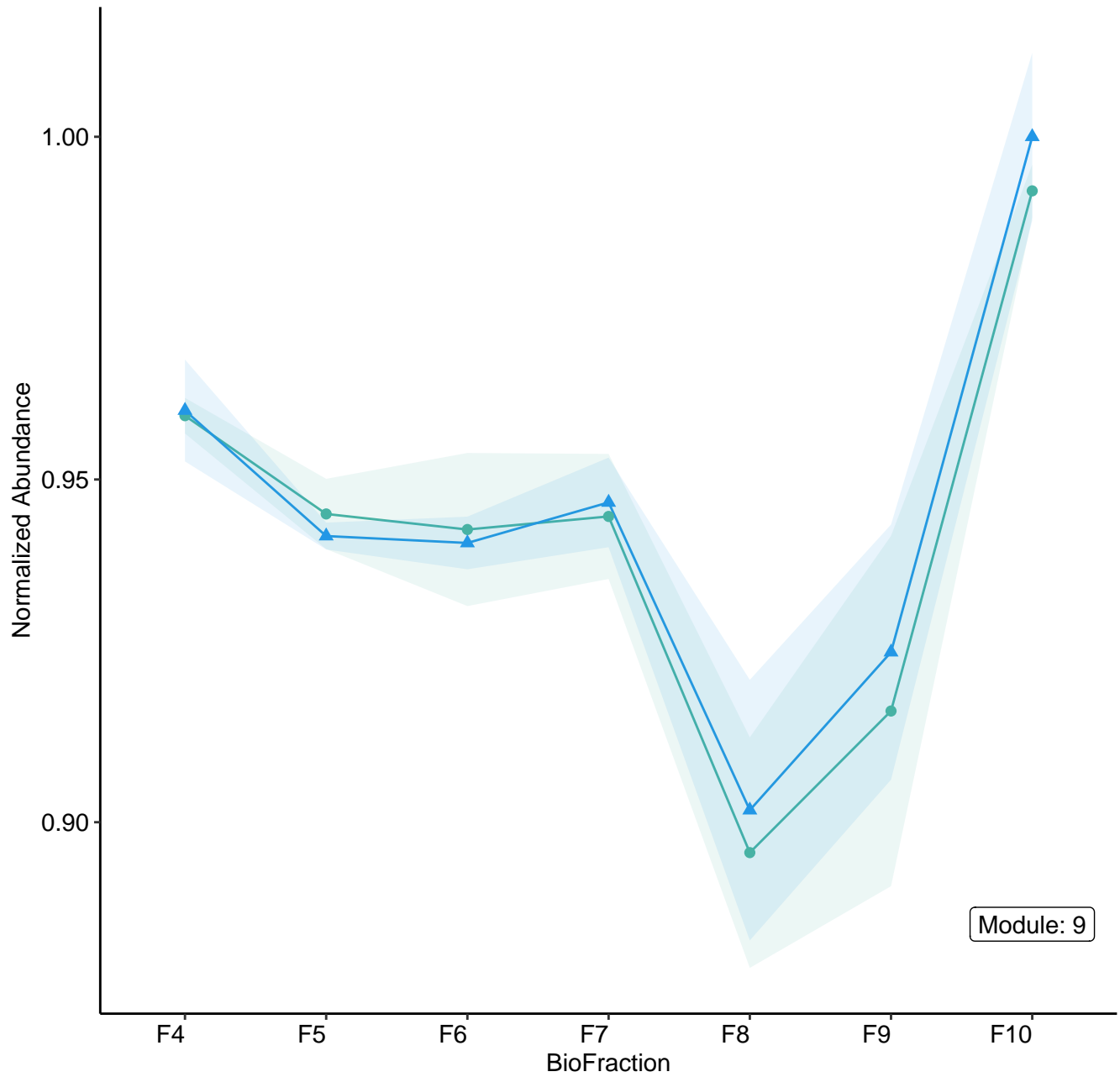


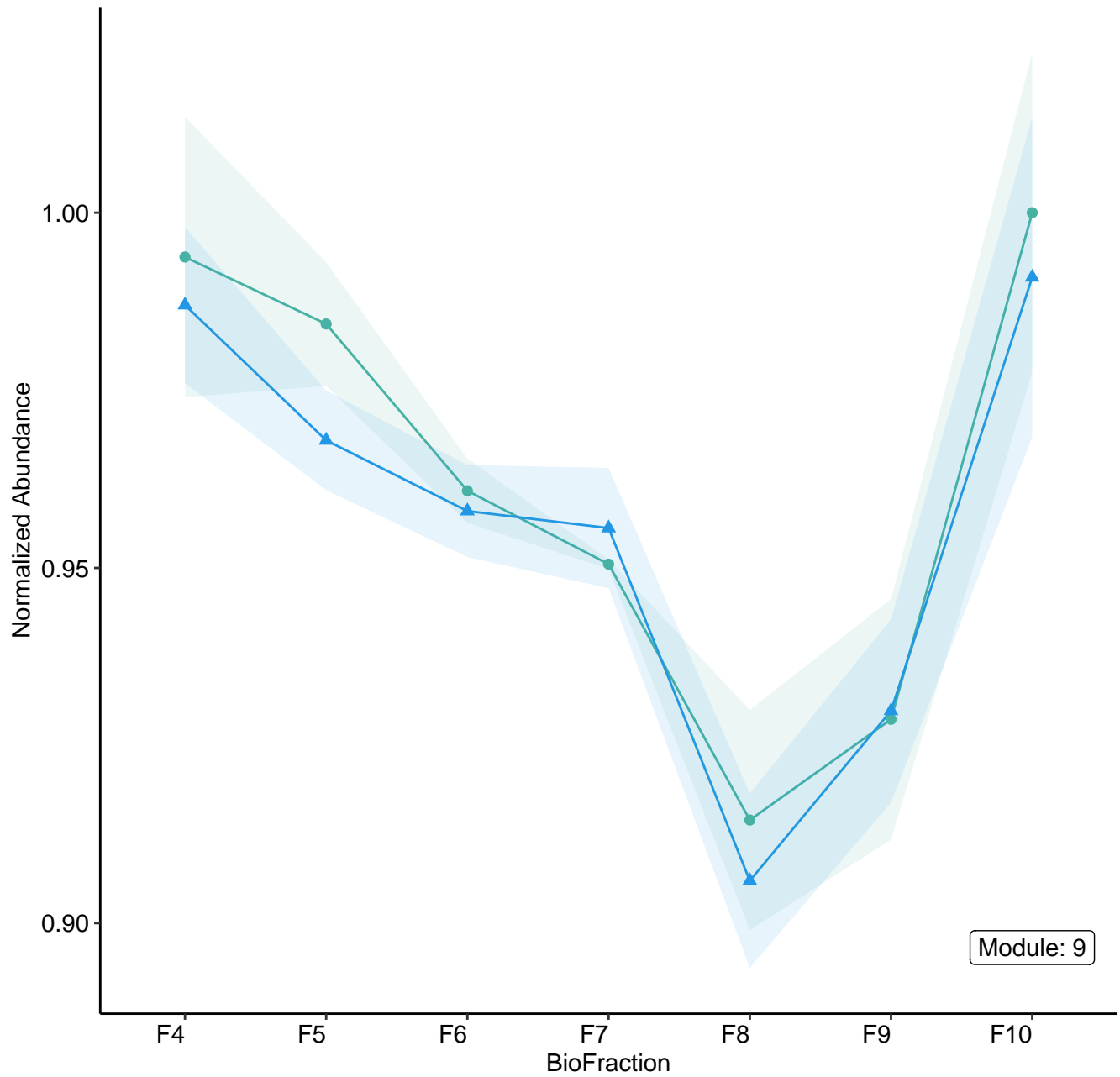


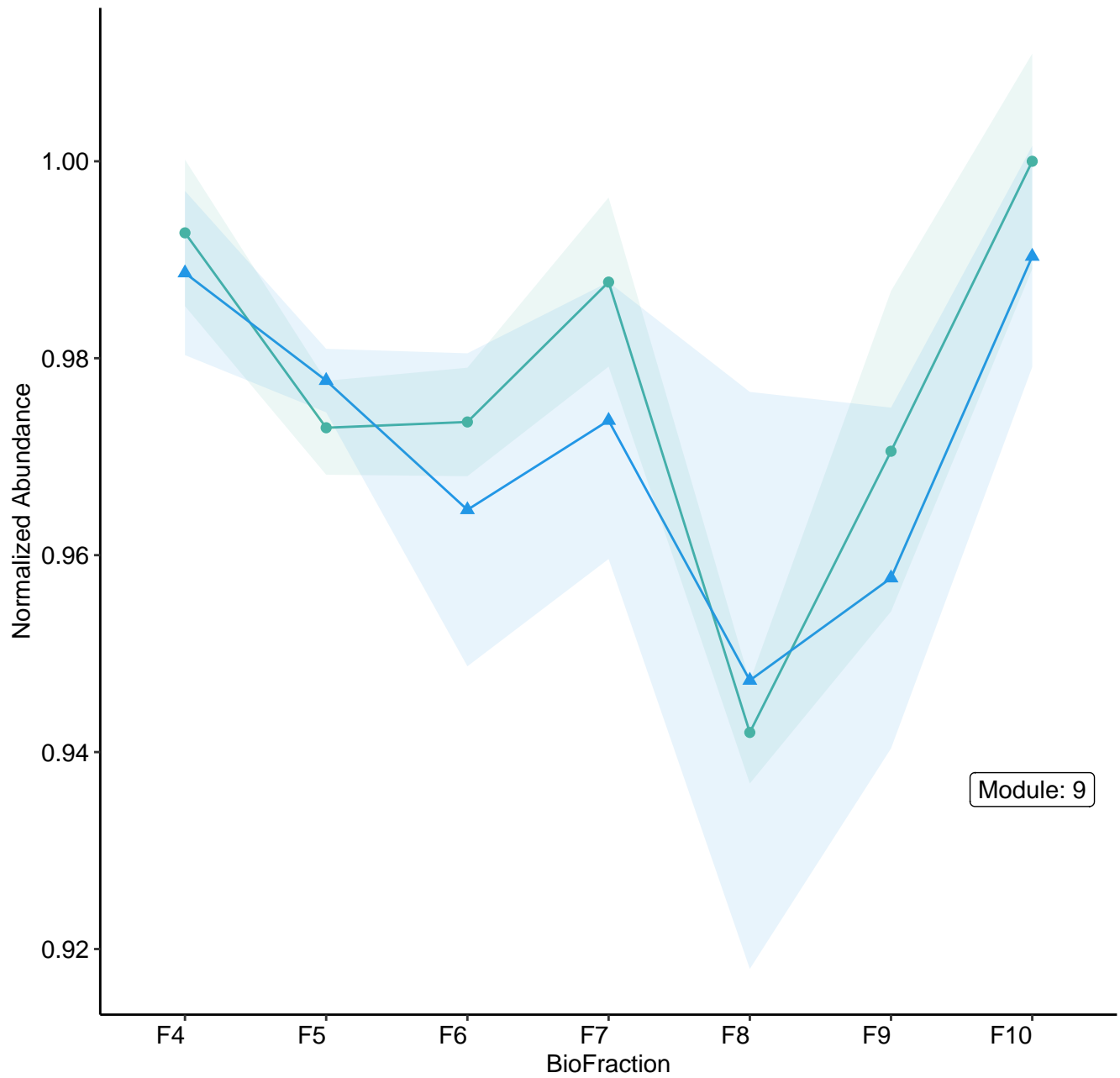


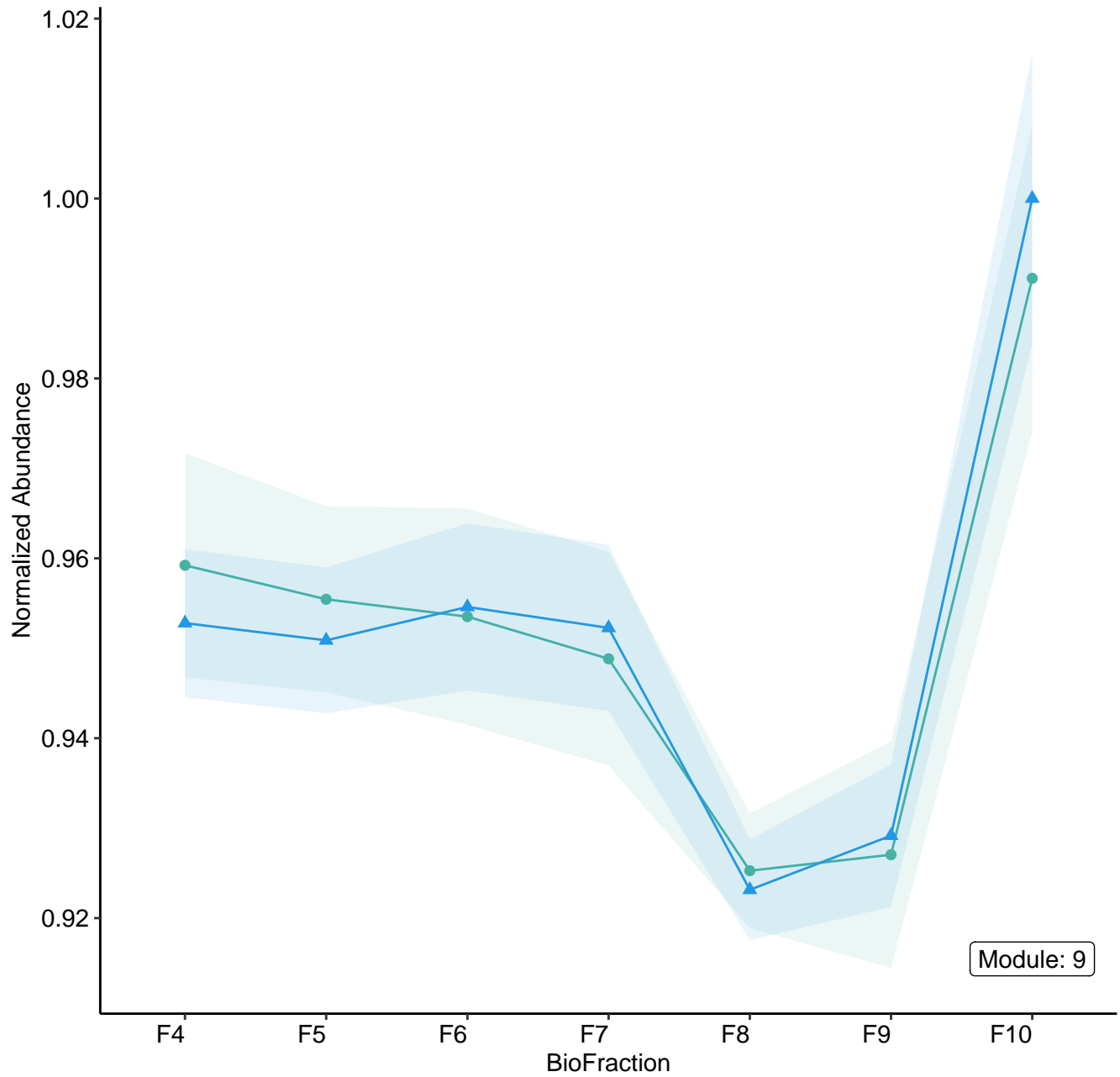


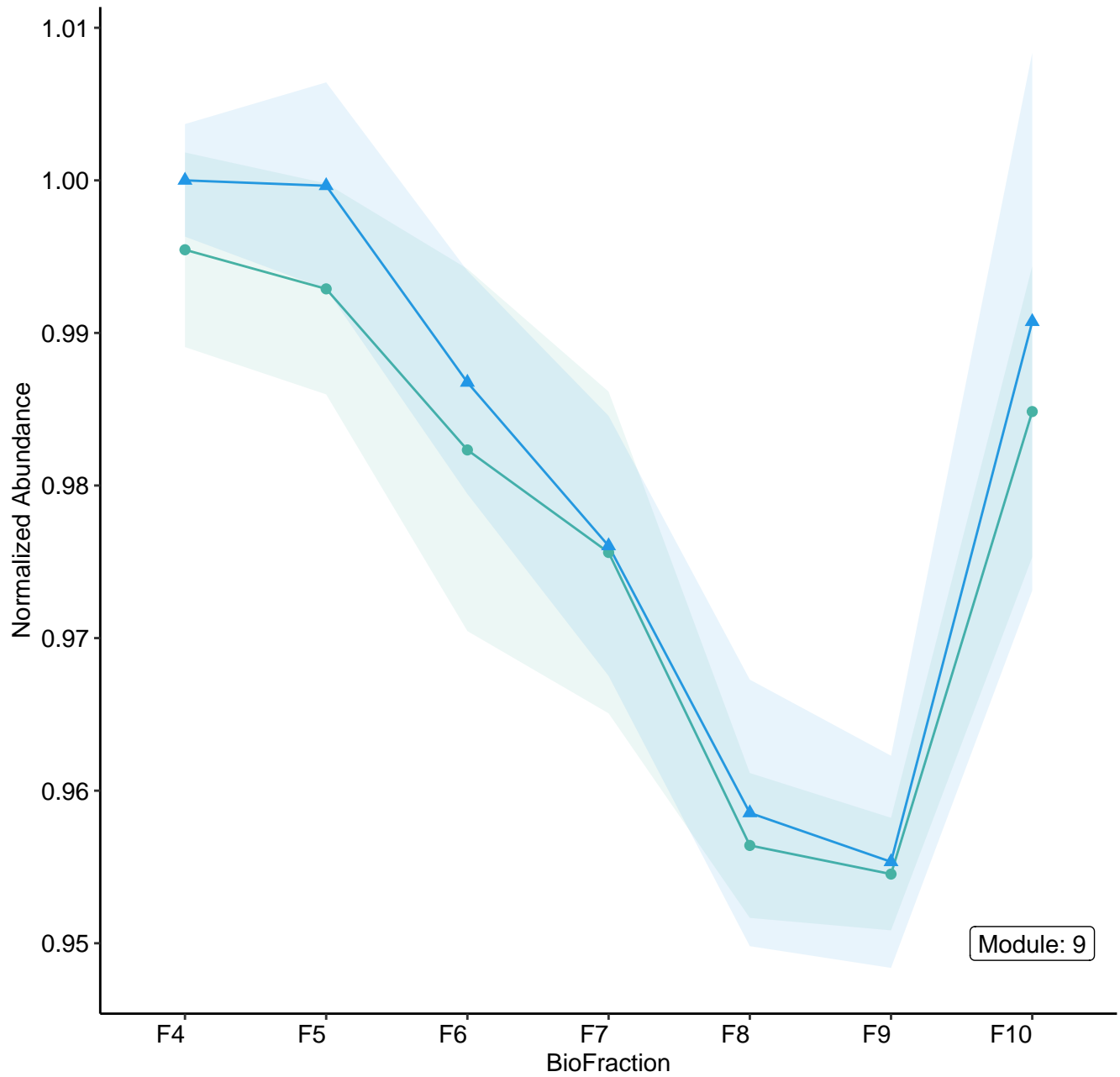


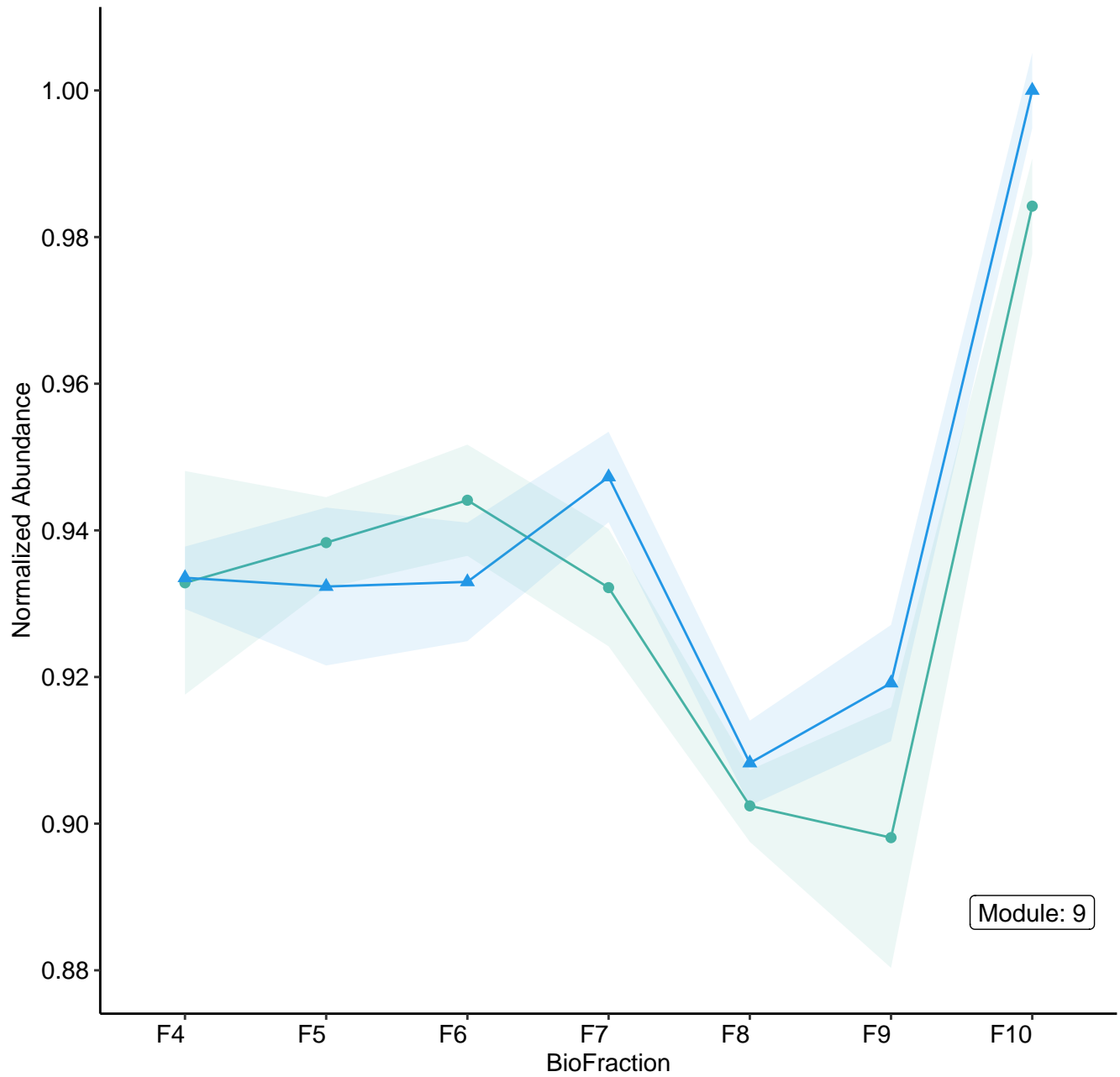




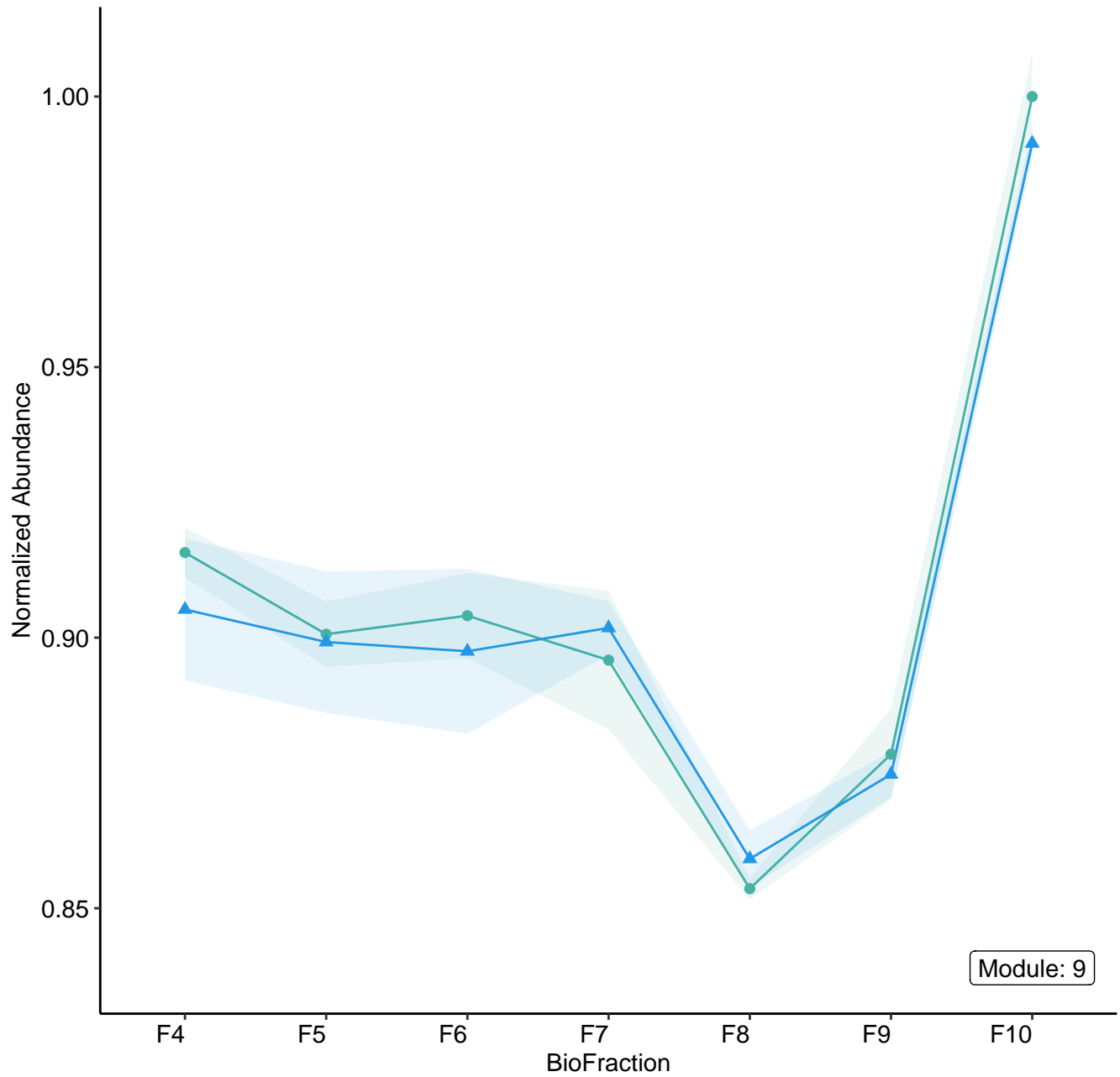


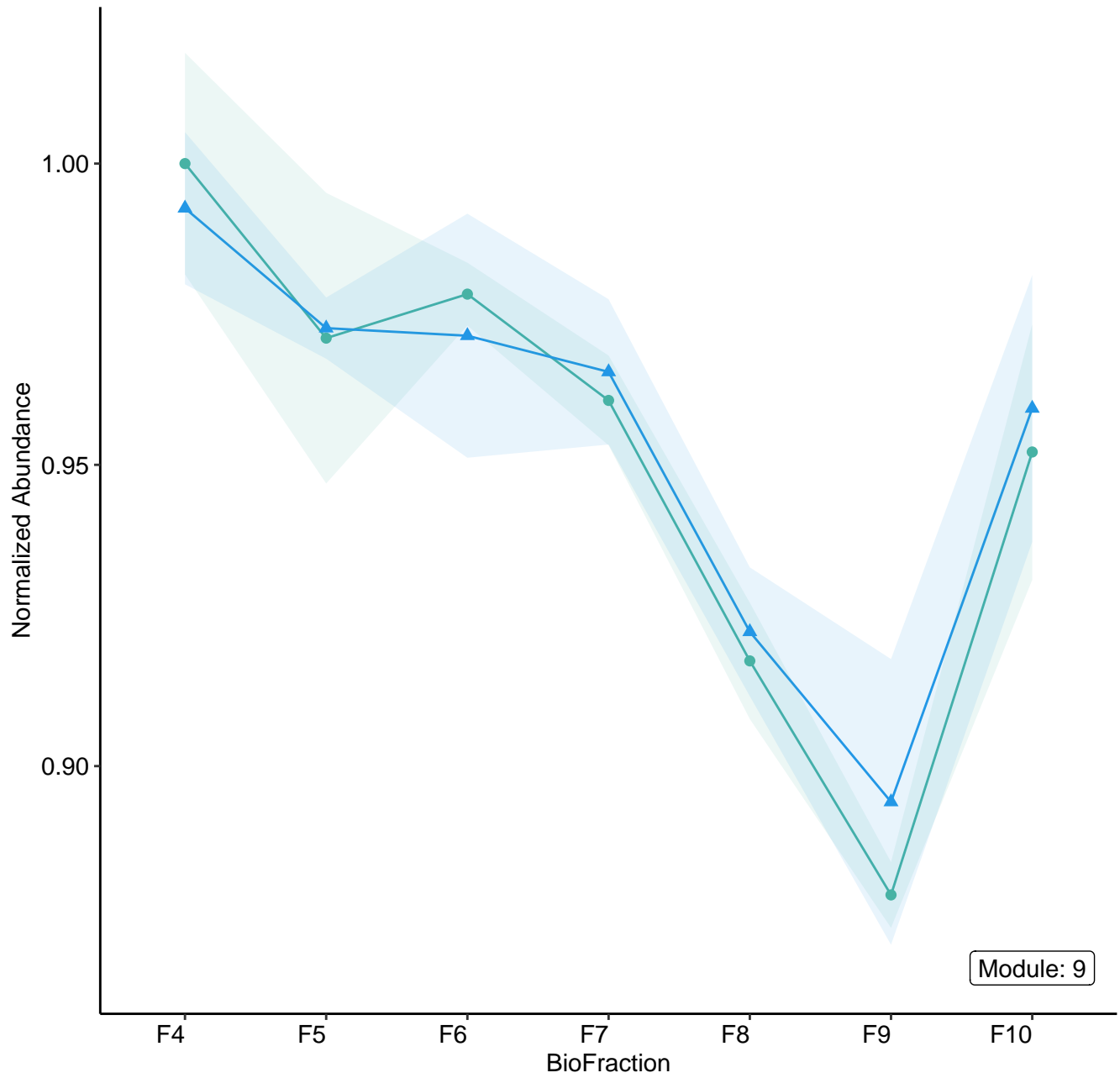


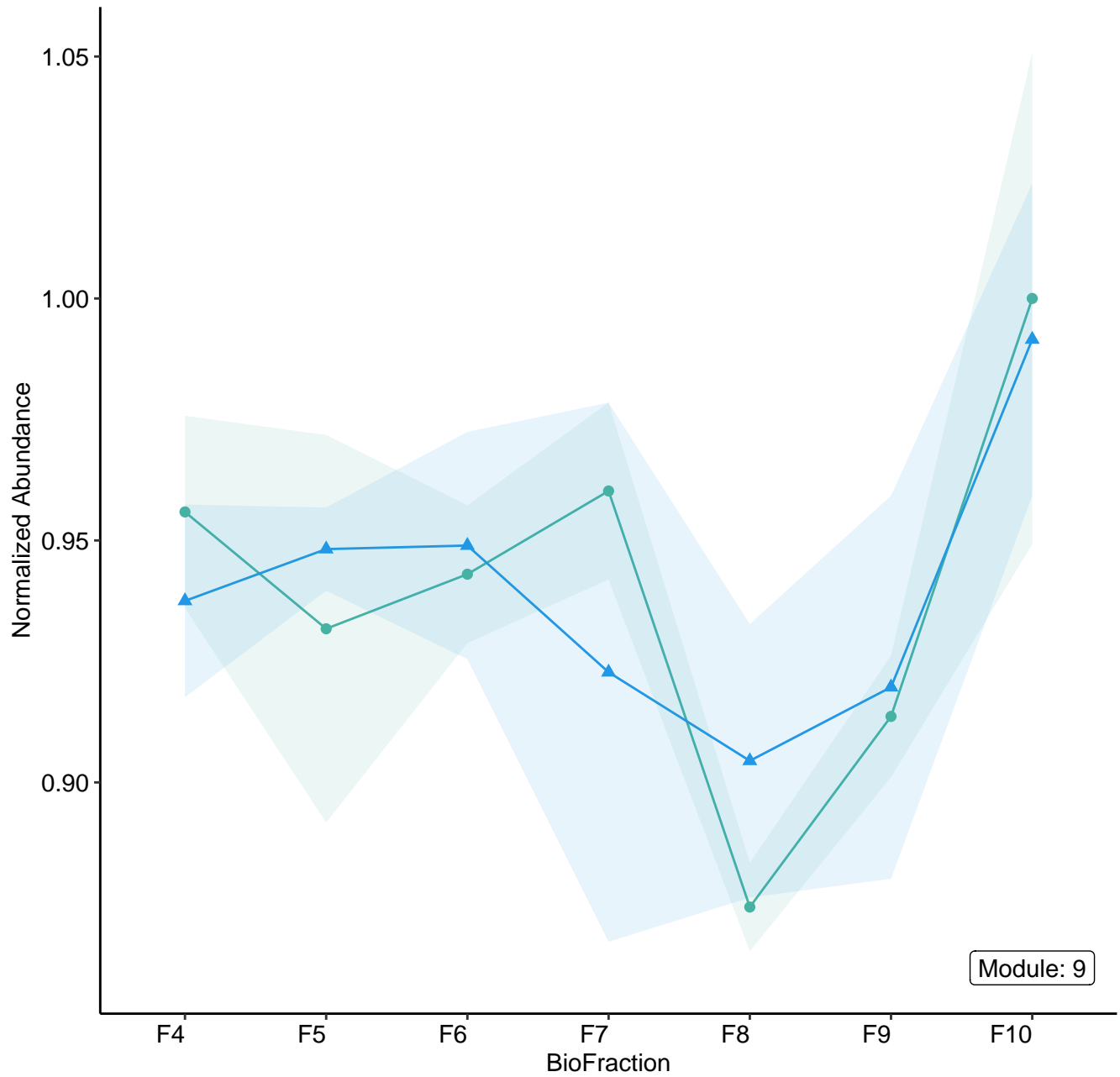


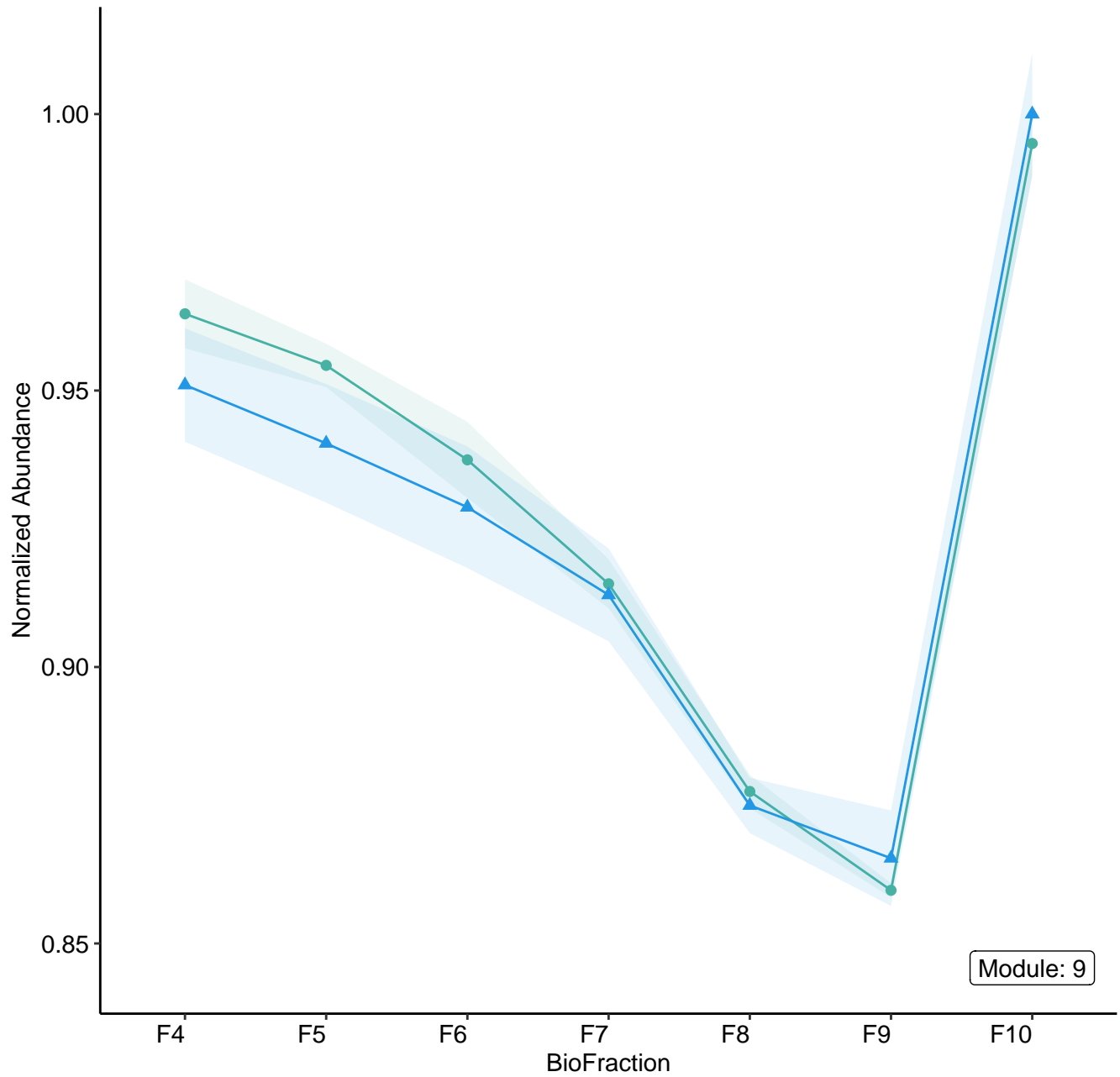


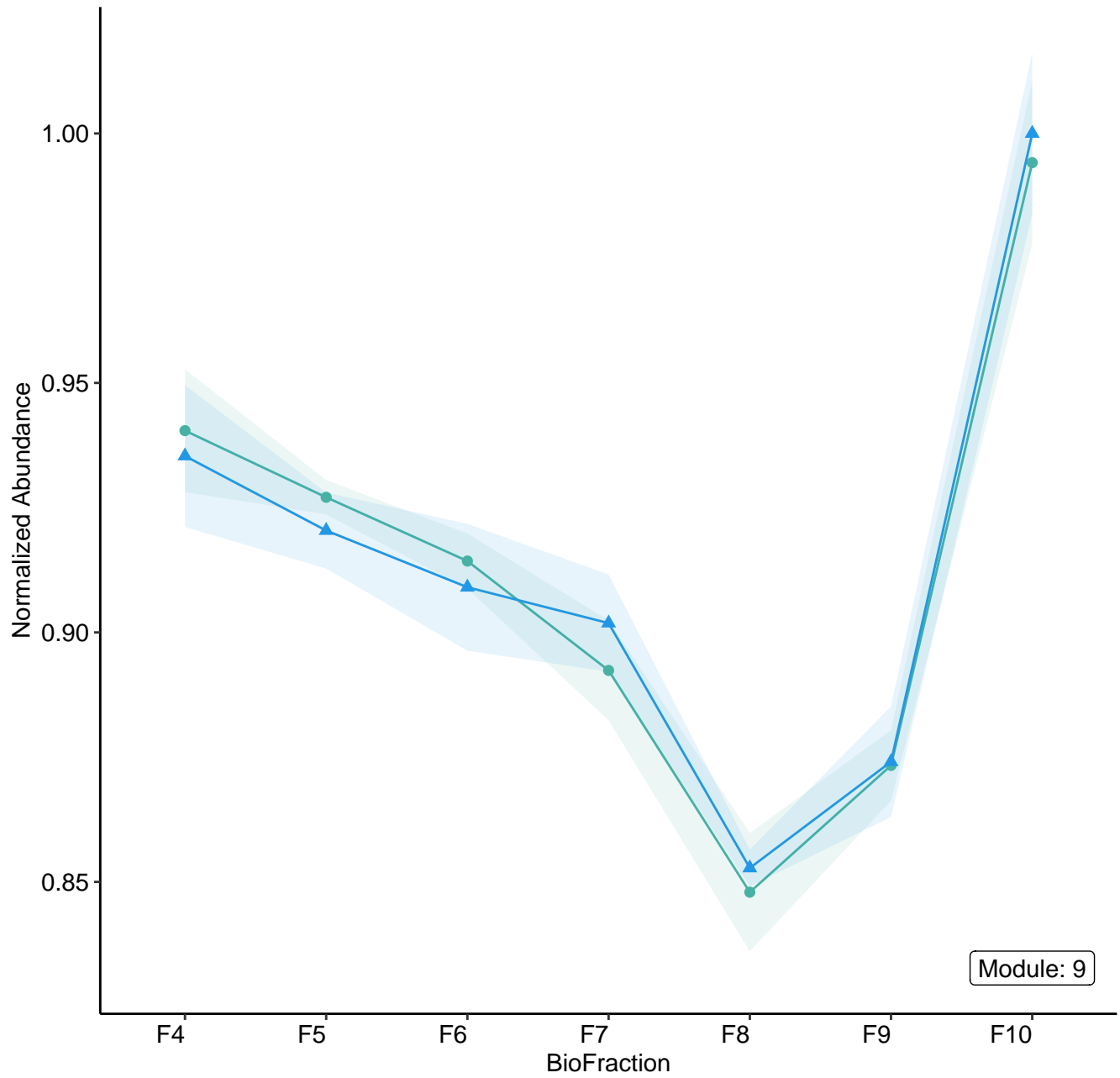


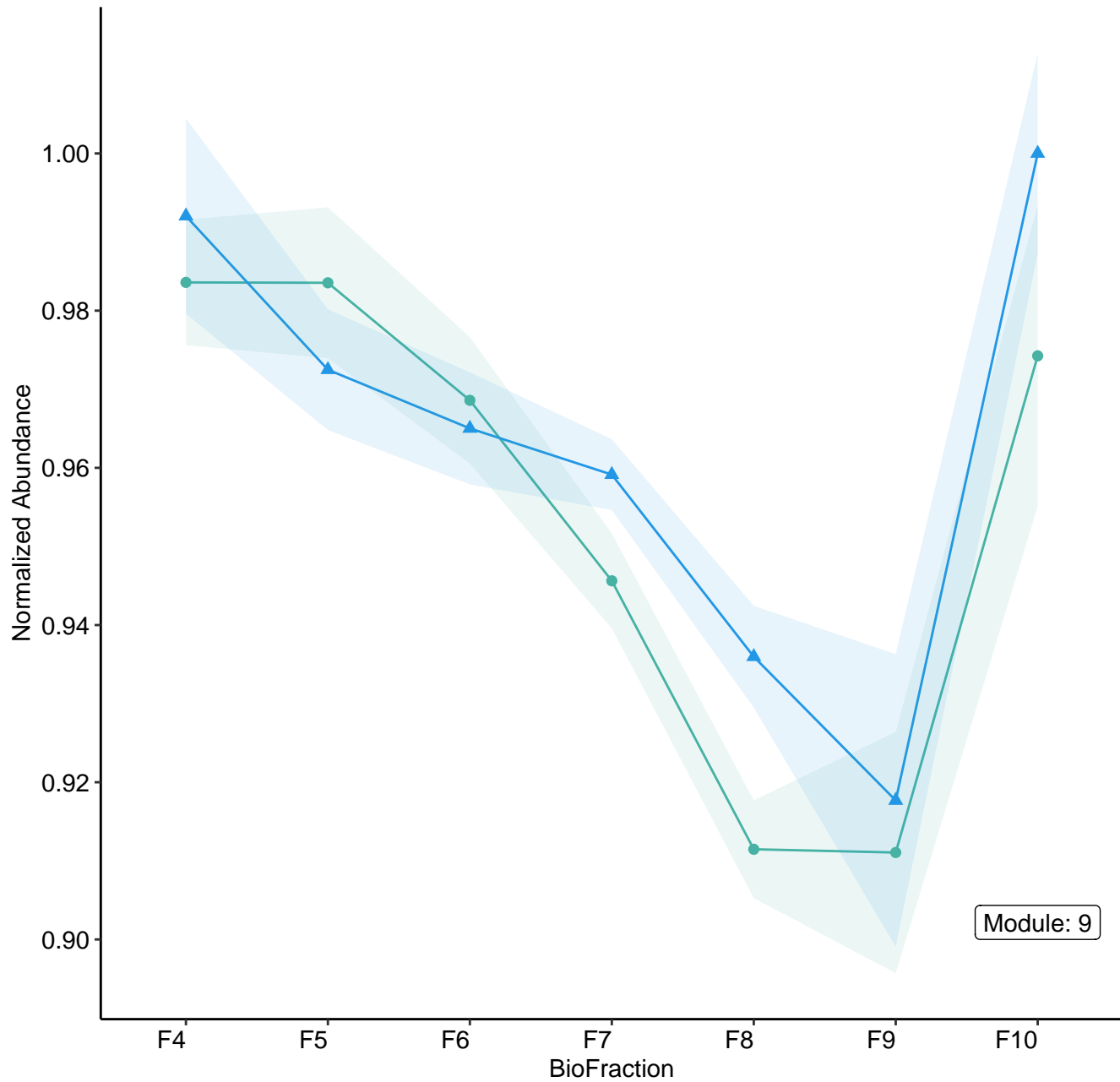


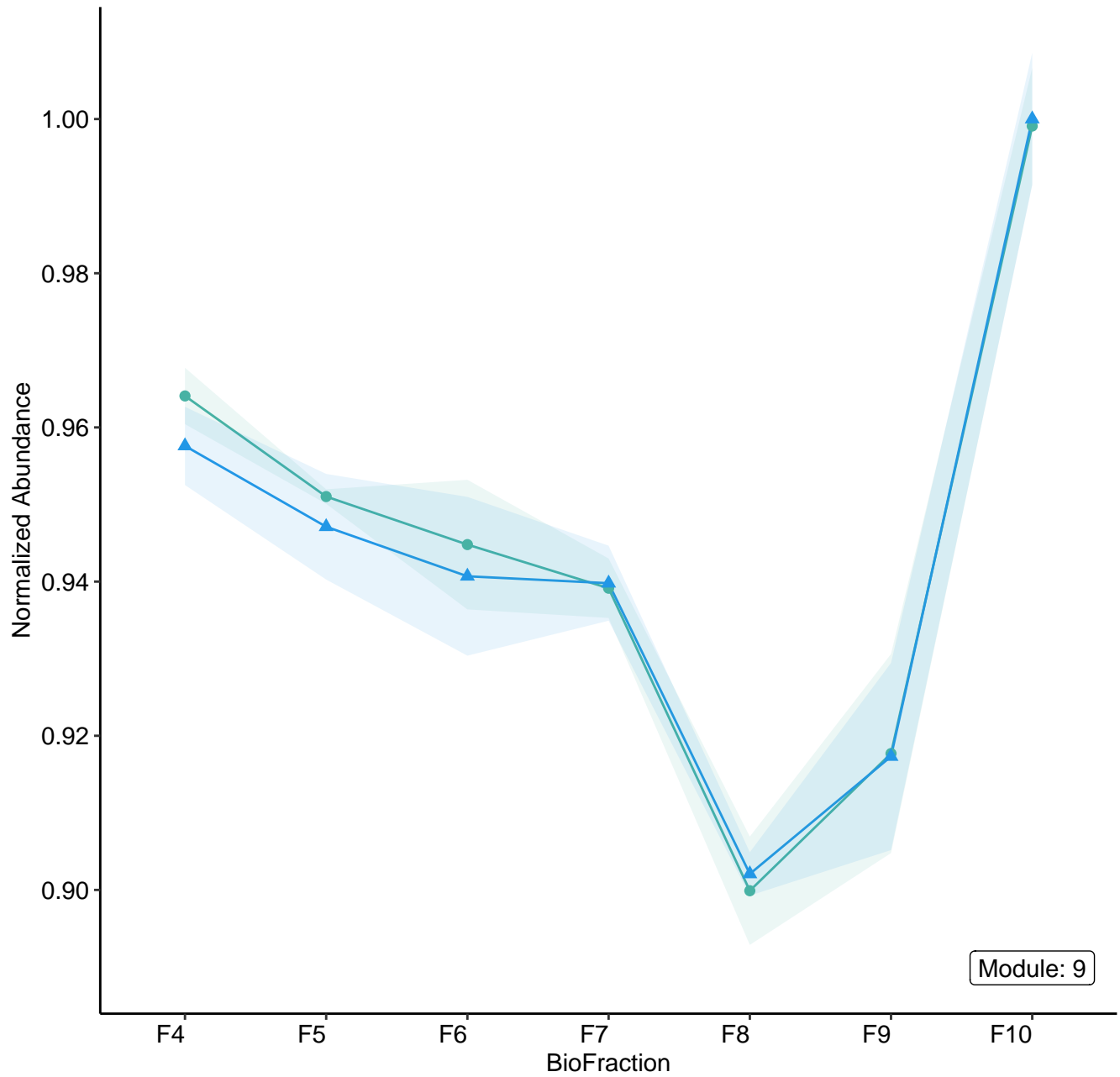


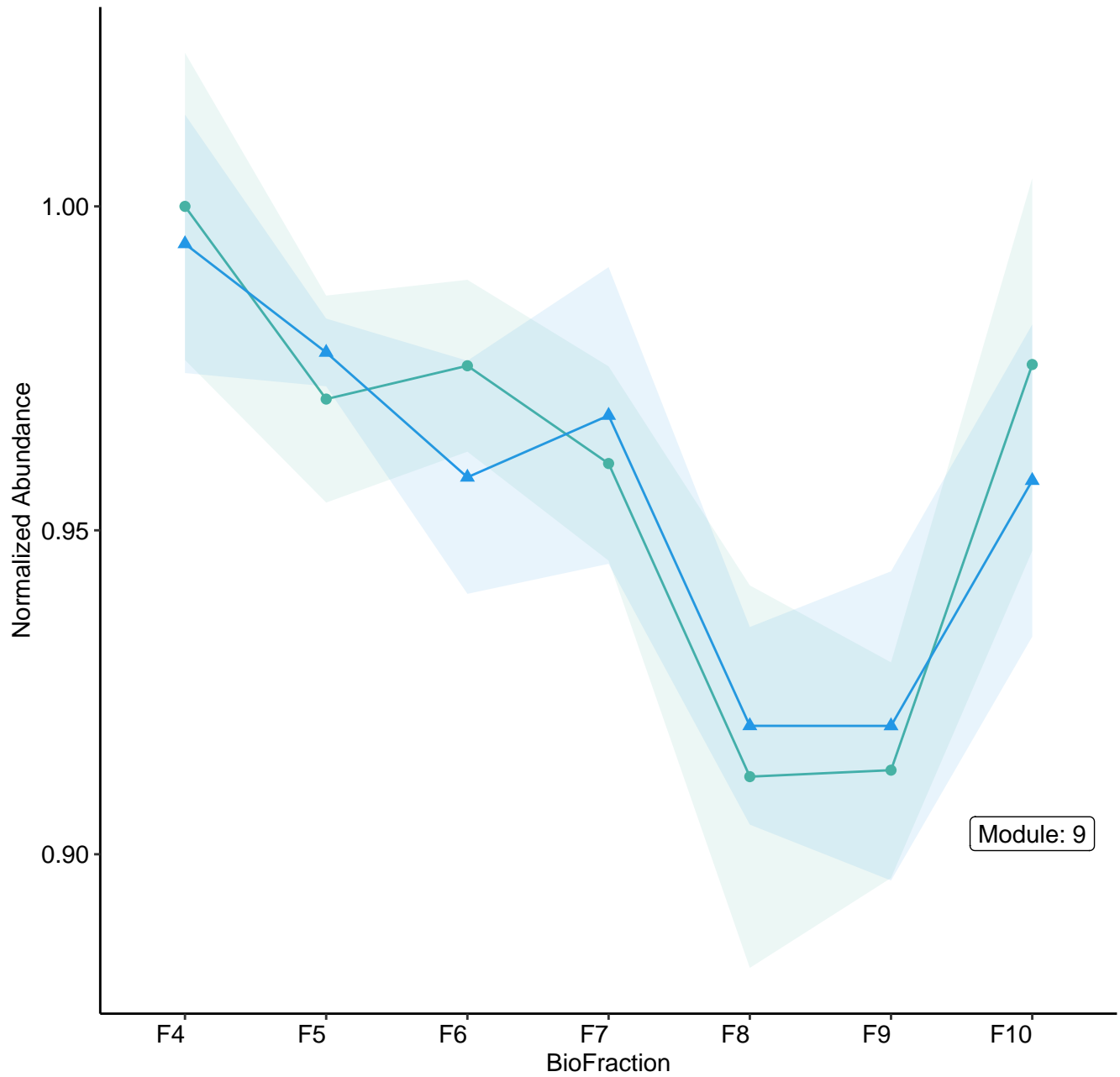




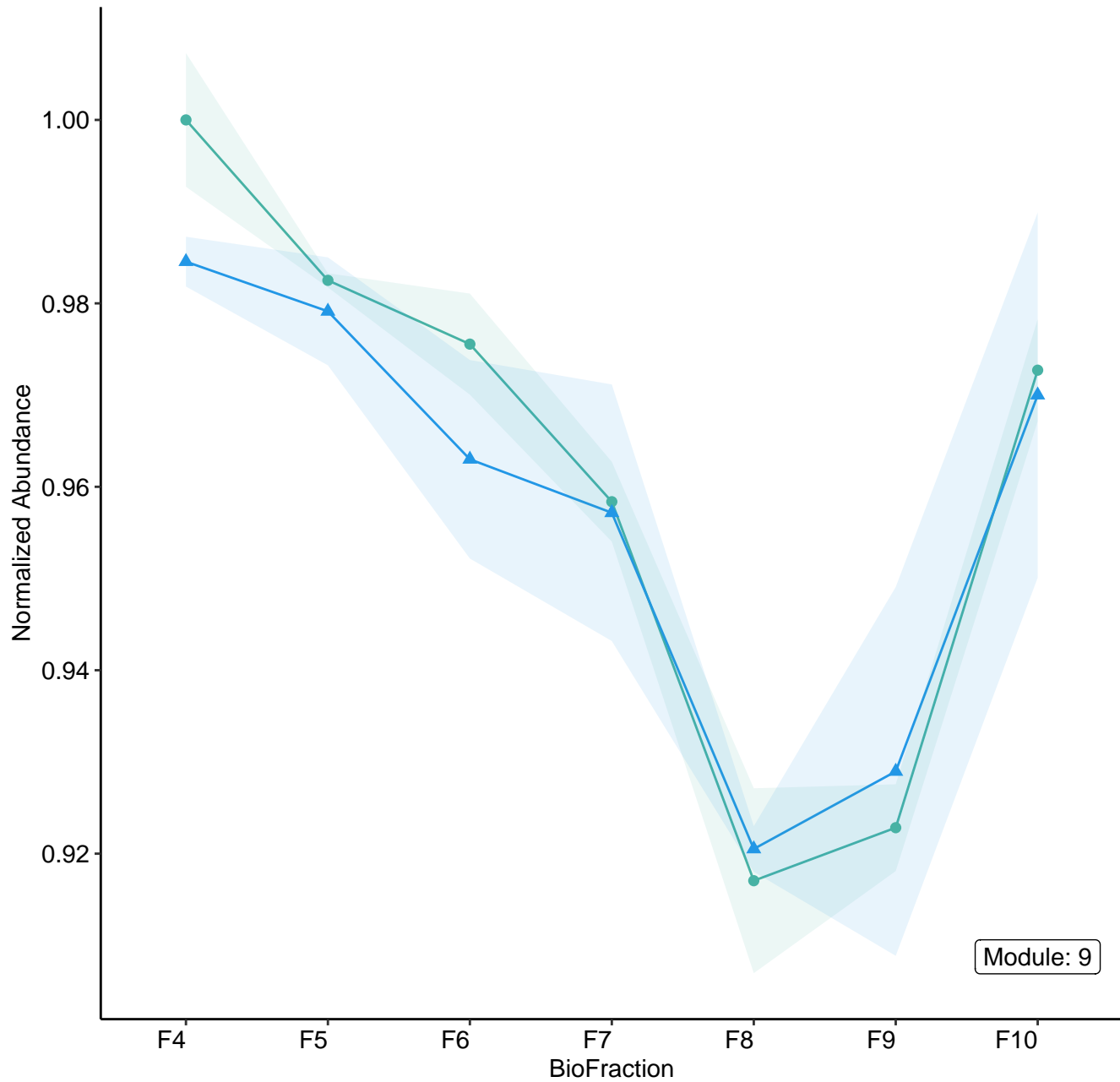


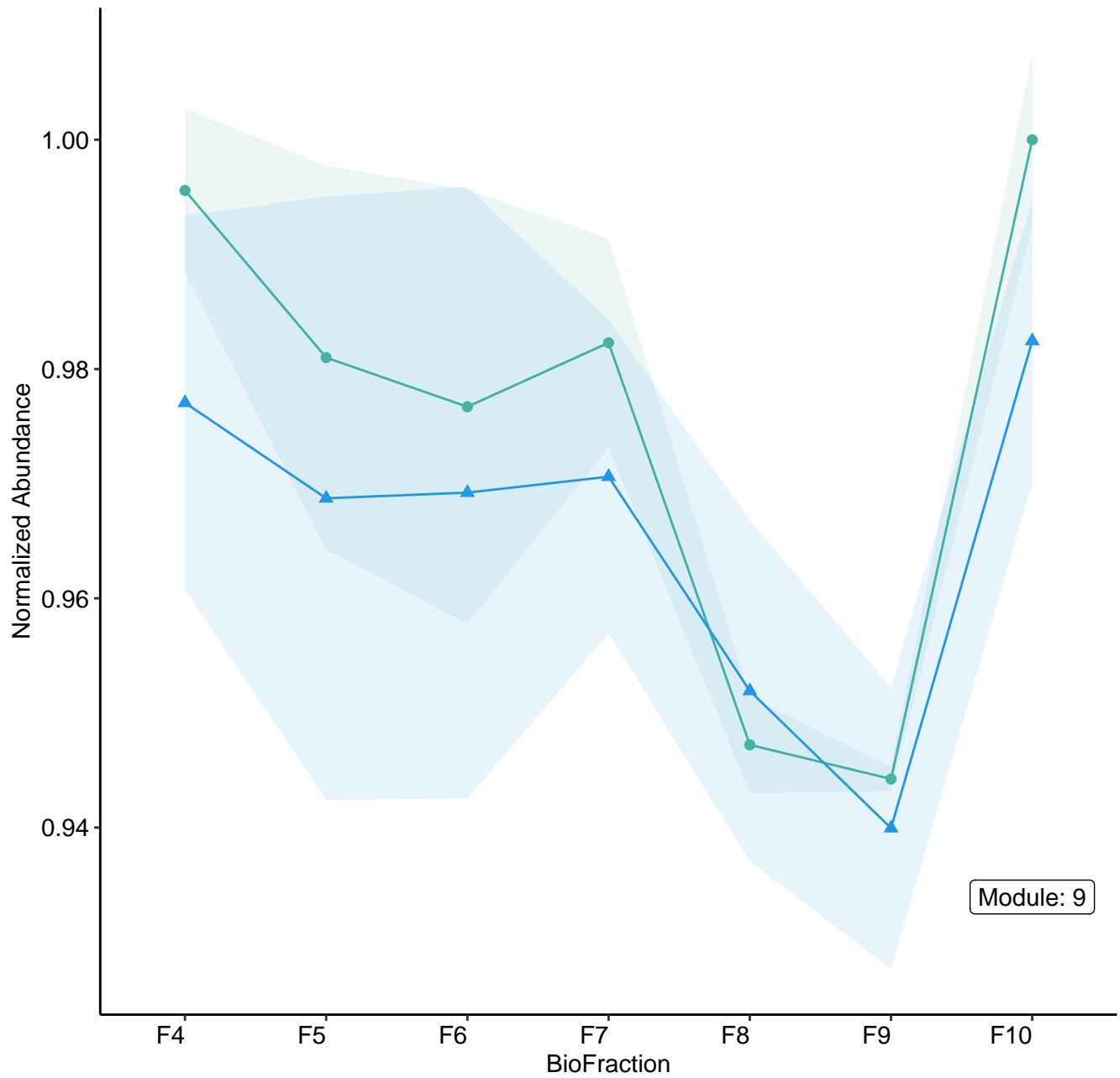


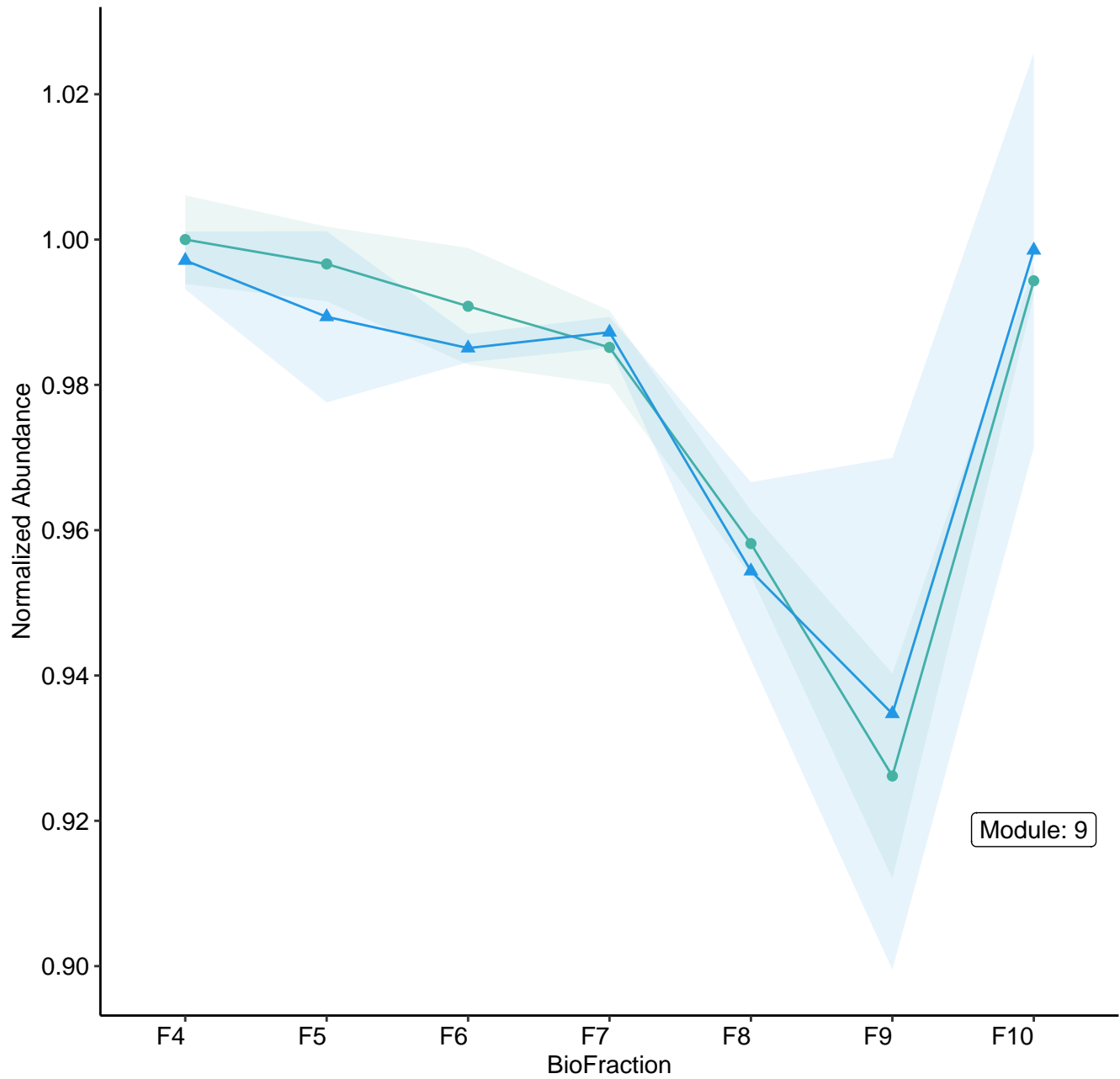


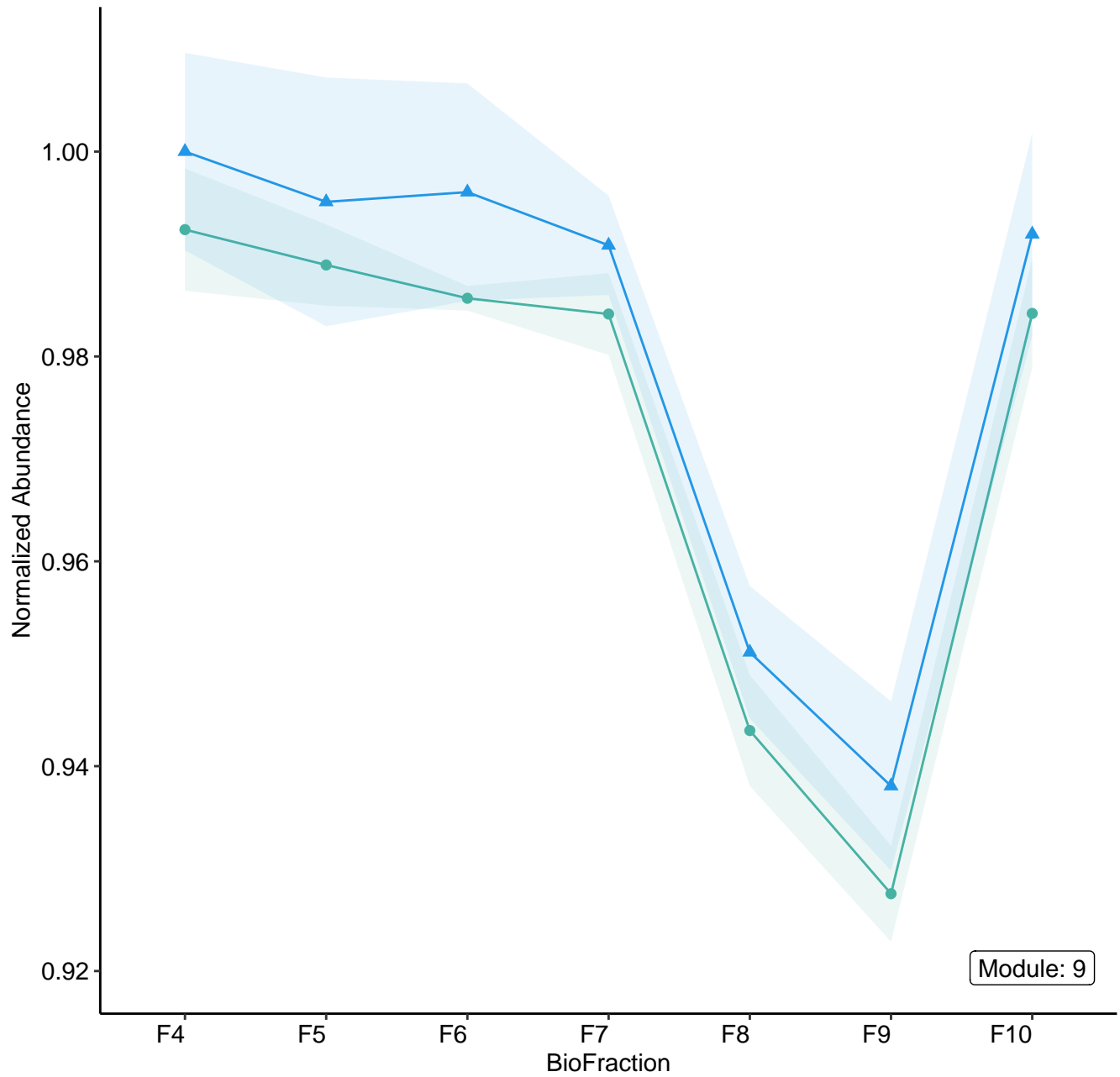


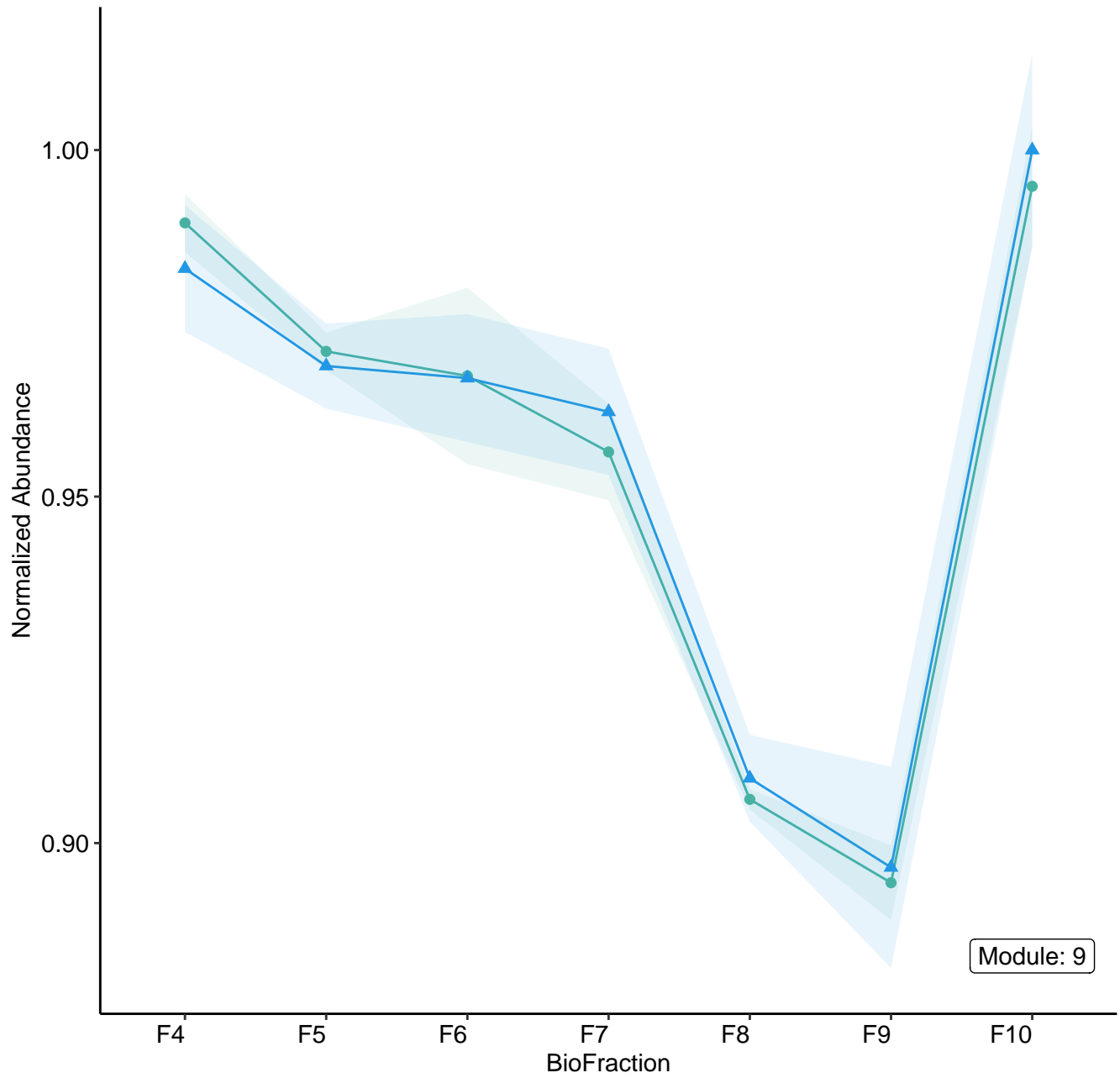


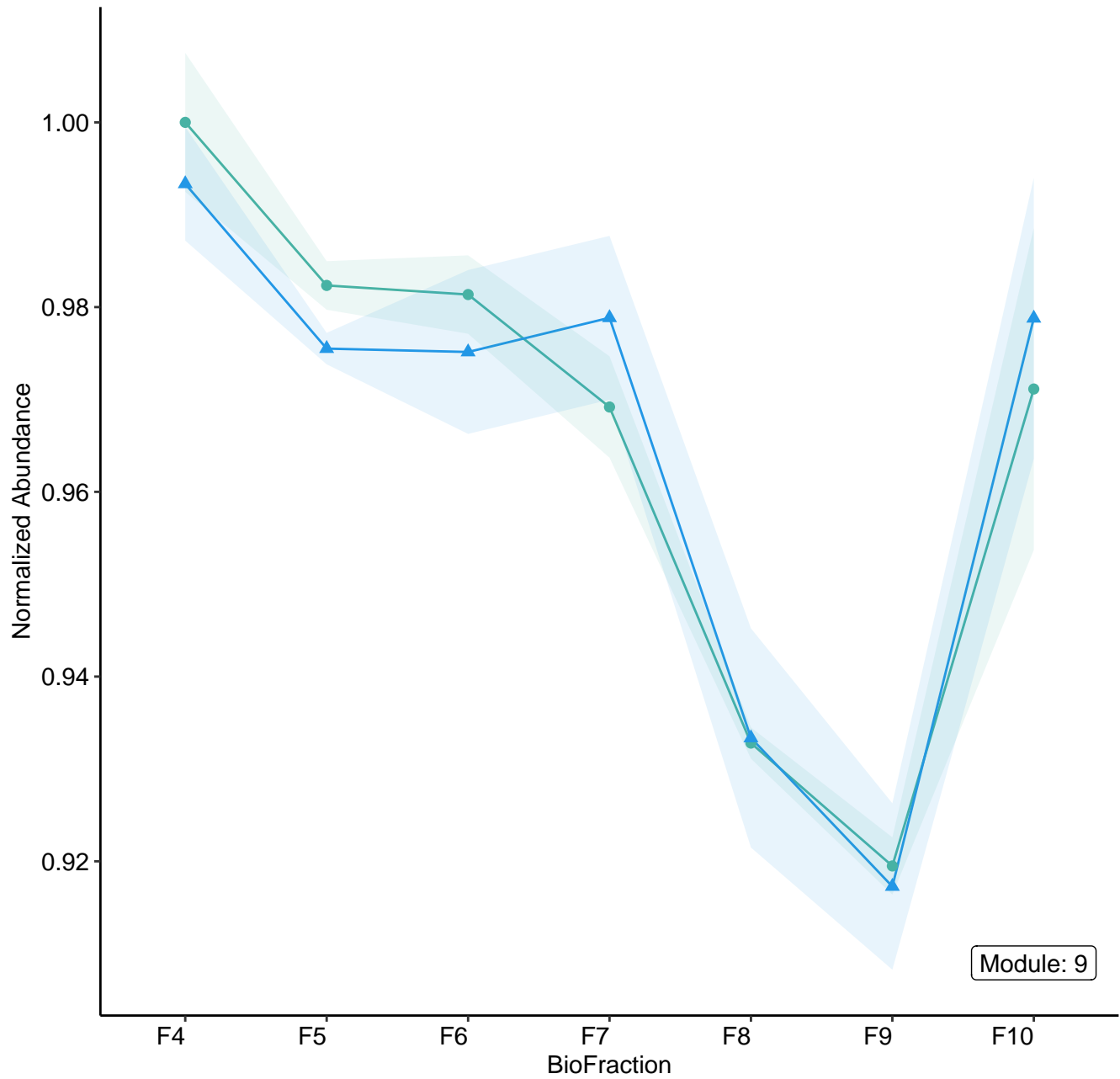












Normalized Abundance

1.00

0.95

0.90

F4

F5

F6

F7

F8

F9

F10

BioFraction

Module: 9

